

В.О. ГУБАНОВ, А.П. НАУМЕНКО, М.М. БІЛИЙ, І.С. ДОЦЕНКО,
О.М. НАВОЗЕНКО, М.М. САБОВ, Л.А. БУЛАВІН

Київський національний університет імені Тараса Шевченка
(Вул. Володимирська, 64/13, Київ 01601)

КОРЕЛЯЦІЯ ЕНЕРГЕТИЧНИХ СПЕКТРІВ КОЛИВАЛЬНИХ І ЕЛЕКТРОННИХ ЗБУДЖЕНЬ ТА ЇХНЯ ДИСПЕРСІЯ В ГРАФІТІ ТА ГРАФЕНІ

УДК 539

Досліджено кореляцію коливальних мод, електронних збуджень та їх дисперсійні залежності в одношаровому графені та кристалах графіту. Для інтерпретації таких кореляцій вперше використано методи теорії проективних представлень точкових та просторових груп симетрії. Визначено кореляції енергетичних спектрів коливальних та електронних збуджень і умови сумісності незвідних проективних представлень в описах квантових станів графену і кристалічного графіту для різних точок їх зон Бріллюена. Для проективних представлень всіх проективних класів гексагональної системи вперше побудовано стандартні фактор-системи, в тому числі вперше визначено фактор-системи для електронних станів, за допомогою яких вперше знайдено коректні таблиці множення спінорів, тобто таблиці множення елементів в подвійних групах симетрії. На основі вказаного вище, надано розподіли за типами симетрії коливальних збуджень для всіх точок високої симетрії зон Бріллюена одношарового графену і кристалічного графіту.

Ключові слова: спінорні представлення груп симетрії, фактор-системи, дисперсія елементарних збуджень.

1. Вступ

Вивченням енергетичних спектрів та дисперсії коливальних та електронних колективних збуджень в кристалах та дво- і одноперіодичних наноструктурах завжди приділялась велика увага наукової спільноти, бо такі дослідження відносяться до фундаментальних і мають безперечну як практичну, так і теоретичну цінність. Незважаючи на це, на даний час відсутнє повне уявлення про дисперсію колективних збуджень та їх як теоретичне, так і симетрійне тлумачення навіть для такої широко досліджуваної структури, як кристалічний графіт. Лишаються не встановленими класи проективних представлень, за якими перетворюються хвильові функції коливальних та електронних станів в різних точках зони Бріллюена графіту, не визначені зміни характеру виродження енергетичних спектрів збуджень та їх кореляція з відповідними збудженнями одношарового гра-

фену. На сьогодні немає чітких уявлень про коректну побудову фактор-систем, які належать різним проективним класам, та про їх зведення до стандартного вигляду, що визначає форму кривих дисперсії та кратності виродження енергетичних станів.

У даній роботі розвинуту методику визначення як самих проективних класів і їх змін на границях зони Бріллюена, так і незвідних проективних представлень, за якими перетворюються хвильові функції досліджуваних квантових систем. В даній роботі вперше представлено методику побудови фактор-систем, що характеризують певний проективний клас, та їх зведення до стандартного вигляду, запропоновано нову класифікацію проективних класів для гексагональних структур, а також вперше знайдено коректну таблицю симетрійних перетворень хвильових функцій квантових станів з напівцілим спіном – спінорів. Вперше надано симетрійний аналіз дисперсії коливальних та електронних збуджень для π -зон кристалів графіту і наведено їх кореляції з електронними π -зонами одношарового графену.

© В.О. ГУБАНОВ, А.П. НАУМЕНКО, М.М. БІЛИЙ,
І.С. ДОЦЕНКО, О.М. НАВОЗЕНКО, М.М. САБОВ,
Л.А. БУЛАВІН, 2018

2. Опис системи

Н-поворотів групи $6/mmm(D_{6h})$

Як і в [1, 2] в даній статті для Н-поворотів (поворотних елементів як першого, так і другого роду) групи $6/mmm(D_{6h})$ використані права косокутна система координат з віссю Z , направленою вгору, і віссю Y , направленою праворуч (кут між осями X і Y рівний 120°), і цифрові позначення елементів, для яких дещо змінені їх порядкові номери. Це зроблено для більш зручного представлення “блоко-вого” характеру таблиць, який визначається внутрішньою структурою групи $6/mmm(D_{6h})$, тобто врахуванням того, що група D_{6h} є прямим добутком груп D_6 та $C_i(D_{6h} = D_6 \times C_i)$, а група D_6 , у свою чергу – прямим добутком груп D_3 та $C_2(D_6 = D_3 \times C_2)$. Група D_3 містить інваріантну підгрупу, за якою можна побудувати її фактор-групу, ізоморфну групі C_2 . Відповідно до такого “принципу композиції” “головною” віссю, що визначає символи в позначеннях незвідних представлень в групі D_{6h} , є елемент c_3 – поворот навколо осі 3-го порядку в підгрупі старшого порядку у тому випадку, коли у всіх прямих добутках спочатку “вписується” підгрупа старшого порядку. Зміст Н-поворотів пояснюється на рис. 1. Як і в [1, 2] інверсійним поворотам віддано перевагу перед дзеркальними поворотами.

3. Кристалічні структури, зони

Бріллюена і базисні елементи симетрії

На рис. 2, *a* зображено стандартну елементарну комірку кристалічної гратки графіту Бернала $\gamma - C$

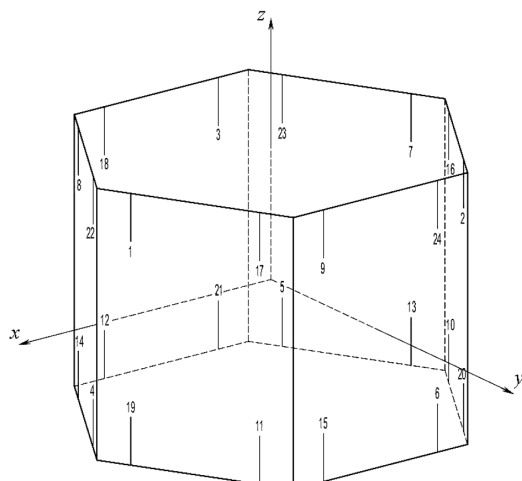


Рис. 1. Призма перепозначеніх Н-поворотів

[3], яка відповідає наведеному на рис. 2, *b* стандартному графіку її просторової групи симетрії $P6_3/mmc(D_{6h}^4)$, а на рис. 2, *b* вказано розташування та орієнтацію елементів симетрії точкової групи $6/mmm(D_{6h})$.

На рис. 3 наведено зону Бріллюена кристалів $\gamma - C$ та її точки симетрії, які позначені літерами, що відповідають позначенням Херрінга для гексагональних структур [4], а на рис. 4 – елементарну комірку Вігнера–Зейтца (*a*) та зону Бріллюена (*b*) одношарового графену C_{L1} .

На рис. 4, *a* суцільними лініями схематично зображені елементарну комірку графену C_{L1} , його вектори основних трансляцій \mathbf{a}_1 і \mathbf{a}_2 та вказано використану при розрахунках орієнтацію її елементів симетрії в тривимірному просторі, а пунктиром зображені відповідну орієнтацію векторів оберненої гратки \mathbf{b}_1 і \mathbf{b}_2 в довільному масштабі та положення вузлів оберненої гратки в оберненому просторі. На рис. 4, *b*, навпаки, суцільними лініями зображені вектори оберненої гратки, а пунктиром – вектори прямої гратки. Елементарні комірки (комірки Вігнера–Зейтца) графенового шару в реальному просторі (рис. 4, *a*) та в оберненому просторі (рис. 4, *b*), де така комірка збігається з першою зоною Бріллюена, виділені сірим фоном. Щікаво, що ці комірки повернуті одна відносно іншої на кут $\pi/2$ (або на кут 30° , зважаючи на те, що поворот на кут 60° в обох випадках є елементом симетрії). На рис. 4, *b* також позначені точки високої симетрії зони Бріллюена графену – точки K і M . Еквівалентні точки позначені одним або двома штрихами.

Просторова група симетрії кристалічної гратки графіту $P6_3/mmc(D_{6h}^4)$ є несимморфною і визначається базисними (головними) елементами, які можна вибрати у вигляді:

$$\begin{aligned} h_1 &= (0|e), h_2 = (0|c_3), h_3 = (0|c_3^2), h_4 = (0|(u_2)_1), \\ h_5 &= (0|(u_2)_2), h_6 = (0|(u_2)_3), h_7 = \left(\frac{\mathbf{a}_1}{2}|c_2\right), \\ h_8 &= \left(\frac{\mathbf{a}_1}{2}|c_6\right), h_9 = \left(\frac{\mathbf{a}_1}{2}|c_6\right), h_{10} = \left(\frac{\mathbf{a}_1}{2}|(u'_2)_1\right), \\ h_{11} &= \left(\frac{\mathbf{a}_1}{2}|(u'_2)_2\right), h_{12} = \left(\frac{\mathbf{a}_1}{2}|(u'_2)_3\right), h_{13} = (0|i), \\ h_{14} &= (0|ic_3), h_{15} = (0|ic_3^2), h_{16} = (0|i(u_2)_1), \\ h_{17} &= (0|i(u_2)_2), h_{18} = (0|i(u_2)_3), h_{19} = \left(\frac{\mathbf{a}_1}{2}|ic_2\right), \\ h_{20} &= \left(\frac{\mathbf{a}_1}{2}|ic_6^5\right), h_{21} = \left(\frac{\mathbf{a}_1}{2}|ic_6\right), h_{22} = \left(\frac{\mathbf{a}_1}{2}|i(u'_2)_1\right), \\ h_{23} &= \left(\frac{\mathbf{a}_1}{2}|i(u'_2)_2\right), h_{24} = \left(\frac{\mathbf{a}_1}{2}|i(u'_2)_3\right), \end{aligned}$$

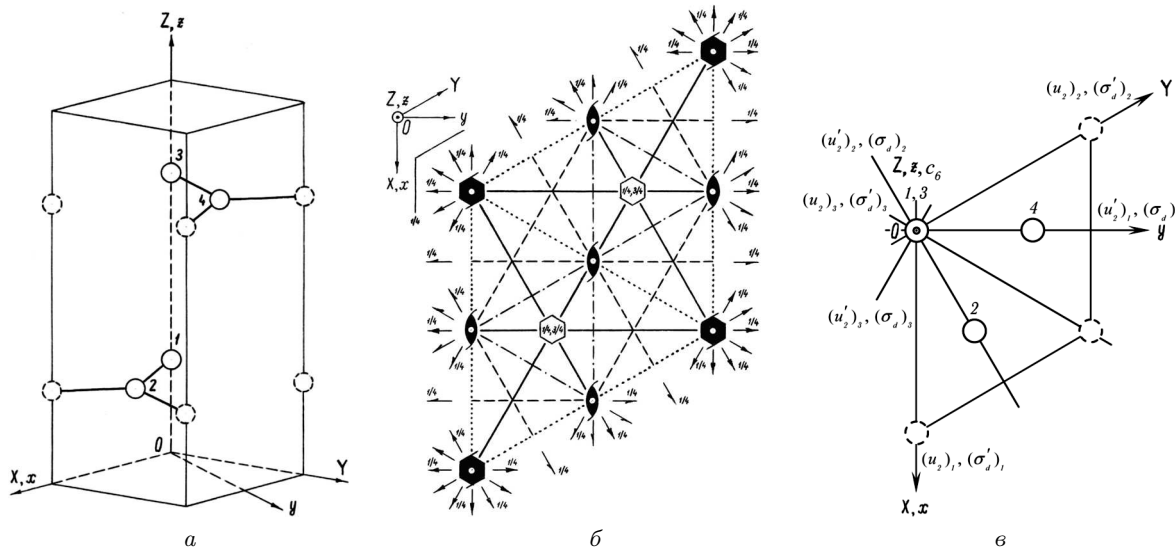


Рис. 2. Структура стандартної елементарної комірки кристалу графіту $\gamma-C$ (а), стандартний графік просторової групи симетрії $P63/mmc(D_{6h}^4)$ (б) і розташування та орієнтація елементів точкової групи симетрії $6/mmm(D_{6h})$ (с). Кружечками вказані положення атомів вуглецю

де \mathbf{a}_1 – основний вектор кристалічної гратки, направлений вздовж осі OZ (Oz), в той час, як просторова група симетрії кристалічної гратки одношарового графену $P6/mmm(DG80)$ [5] або триперіодичної групи D_{6h}^1 , графік якої збігається з графіком двoperіодичної просторової групи одношарового графену, є симмorfною і всі її “поворотні” елементи – елементи симетрії точкової групи $6/mmm(D_{6h})$ не містять нетривіальних (часткових) трансляцій.

4. Нова класифікація проективних класів для проективних представлень групи $6/mmm(D_{6h})$ і побудова для них стандартних фактор-систем

Визначення незвідних представлень просторової групи G , що має незвідну зірку $\{\mathbf{k}\}$ хвильового вектора \mathbf{k} , – представлень $D_{\{\mathbf{k}\}}$ зводиться до знаходження проективних представлень точкової групи еквівалентних напрямків $F_{\mathbf{k}}$ групи хвильового вектора $G_{\mathbf{k}}$ – підгрупи групи G . Групи $F_{\mathbf{k}}$ є можливими підгрупами точкової групи симетрії еквівалентних напрямків F , що характеризує кристалічний клас кристалічної гратки. Загальна методика побудови незвідних представлень групи хвильового вектора $D_{\mathbf{k}}$, що називаються також малими представленнями, у вигляді проективних пред-

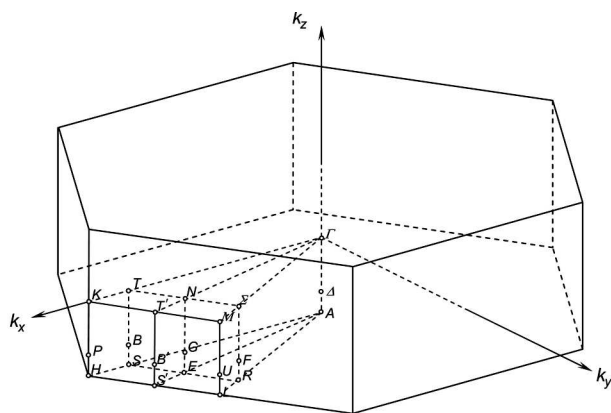


Рис. 3. Зона Бріллюена кристалів графіту $\gamma-C$ та її точки симетрії

ставлень точкових груп еквівалентних напрямків груп хвильових векторів $F_{\mathbf{k}}$, які ізоморфні фактор-групам групи $G_{\mathbf{k}}$ за нескінченною інваріантною підгрупою трансляцій, викладена, в цілому, у [6].

Нагадаємо, що проективними, або променевими, представленнями називають представлення, які задовільняють співвідношення

$$D(r_2)D(r_1) = \omega(r_2, r_1)D(r_2r_1), \quad (1)$$

де r_i – “поворотний” (першого або другого роду) елемент групи $F_{\mathbf{k}}$, а $\omega(r_2, r_1)$ – сукупність h^2 , у за-

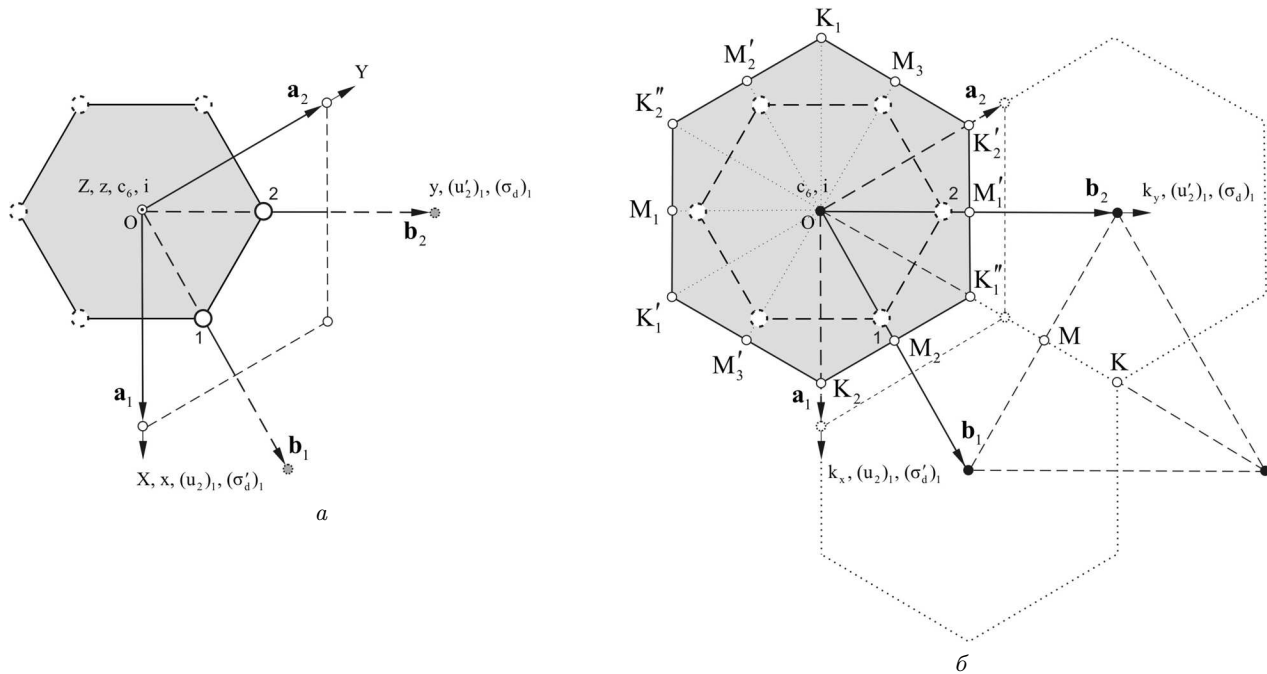


Рис. 4. Елементарні комірки Вігнера–Зейтца (a) та зона Бріллюена одношарового графену C_{L1} (б)

гальному випадку, комплексних числових коефіцієнтів (h – порядок групи), що називається фактор-системою, яка має властивості

$$|\omega(r_2, r_1)| = 1 \quad (2)$$

та

$$\omega(r_3, r_2 r_1) \omega(r_2, r_1) = \omega(r_3, r_2) \omega(r_3 r_2, r_1). \quad (3)$$

Якщо $D(r)$ є деяке проективне представлення, що належить фактор-системі $\omega(r_2, r_1)$, то будь-яке інше проективне представлення

$$D'(r) = \frac{D(r)}{u(r)}, \quad (4)$$

де $u(r)$ – довільна однозначна функція на групі L , а $|u(r)| = 1$, також здійснює проективне представлення групи L , але з іншою фактор-системою $\omega'(r_2, r_1)$, тобто

$$D'(r_2) D'(r_1) = \omega'(r_2, r_1) D'(r_2 r_1),$$

де

$$\omega'(r_2, r_1) = \frac{\omega(r_2, r_1) u(r_2 r_1)}{u(r_1) u(r_2)}. \quad (5)$$

Всі фактор-системи, зв'язані співвідношеннями (5), називають проективно-еквівалентними або p -еквівалентними. Сукупність всіх p -еквівалентних

фактор-систем називають класом фактор-систем. Це також відноситься і до відповідних їм проективних представень.

Група $6/mmm$ має 8 класів проективних представень. Вони класифікуються за допомогою системи з трьох коефіцієнтів α , β і γ , які набувають значення 1 і -1 . Кожний з коефіцієнтів визначається співвідношенням

$$[\omega(r_j, r_i)]^{-1} \omega(r_i, r_j) = \frac{\omega(r_i, r_j)}{\omega(r_j, r_i)}$$

для відповідної пари комутуючих елементів r_i і r_j із твірних елементів групи або елементів, що належать різним класам, які містять твірні елементи.

В ролі таких комутуючих елементів для групи $6/mmm$ зручно вибрати, наприклад, такі твірні елементи: $a = r_1 = (u_2)_1$, $b = r_2 = c_2$ і $c = r_3 = i$. При цьому

$$\alpha = \frac{\omega(a, b)}{\omega(b, a)} = \frac{\omega[(u_2)_1, c_2]}{\omega[c_2, (u_2)_1]},$$

$$\beta = \frac{\omega(a, c)}{\omega(c, a)} = \frac{\omega[(u_2)_1, i]}{\omega[i, (u_2)_1]}$$

і

$$\gamma = \frac{\omega(b, c)}{\omega(c, b)} = \frac{\omega(c_2, i)}{\omega(i, c_2)}.$$

Для класифікації і позначення класів фактор-систем і, відповідно, класів проективних представлень в групі $6/mmm$ зручно вибрати таку (істотно відмінну від запропонованої в [6] як визначеннями коефіцієнтів, так і їх значеннями) систему:

- клас $K_0 - \alpha = 1, \beta = 1, \gamma = 1,$
- клас $K_1 - \alpha = -1, \beta = 1, \gamma = 1,$
- клас $K_2 - \alpha = 1, \beta = -1, \gamma = 1,$
- клас $K_3 - \alpha = -1, \beta = -1, \gamma = 1,$
- клас $K_4 - \alpha = 1, \beta = 1, \gamma = -1,$
- клас $K_5 - \alpha = -1, \beta = 1, \gamma = -1,$
- клас $K_6 - \alpha = 1, \beta = -1, \gamma = -1,$
- і клас $K_7 - \alpha = -1, \beta = -1, \gamma = -1.$

Незвідні представлення групи хвильового вектора $D_{\mathbf{k}}$ містять нескінченну кількість членів $D_{\mathbf{k}}(h)$ для елементів $h \in G_{\mathbf{k}}$. Кожний елемент h можна представити у вигляді $h = (\boldsymbol{\alpha} + \mathbf{a}|r)$, де r – “поворотний” елемент, сукупність яких утворює групу $F_{\mathbf{k}}$, $\boldsymbol{\alpha}$ – вектор нетривіальної трансляції, котра відповідає поворотному елементу r , і \mathbf{a} – вектор тривіальної трансляції на періоди ґратки Браве.

Значення матриць $D_{\mathbf{k}}(h)$ і їх характерів $\chi_{D_{\mathbf{k}}(h)}$ знаходяться за формулами:

$$D_{\mathbf{k}}(h) = e^{-ik(\boldsymbol{\alpha}+\mathbf{a})} w(r) D(r) \quad (6)$$

і

$$\chi_{D_{\mathbf{k}}(h)} = e^{-ik(\boldsymbol{\alpha}+\mathbf{a})} w(r) \chi_{D(r)}, \quad (7)$$

де для представлень, що описують стани без урахування спіну (з цілим спіном), $w(r) = u(r) \equiv u_{1,\mathbf{k}}(r)$ – функція, яка приводить фактор-систему $\omega(r_2, r_1) \equiv \omega_{1,\mathbf{k}}(r_2, r_1)$, котра визначається властивостями просторової групи кристала, до стандартного вигляду $\omega'(r_2, r_1) \equiv \omega'_{1,\mathbf{k}}(r_2, r_1)$; для представлень, що описують стани з урахуванням спіну (з напівцілим спіном) $w(r) = u_s(r) \equiv u_{1,\mathbf{k}}(r)u_2(r)$ – функція, яка приводить фактор-систему $\omega(r_2, r_1) = \omega_s(r_2, r_1) = \omega_{1,\mathbf{k}}(r_2, r_1)\omega_2(r_2, r_1)$, що визначається перетвореннями спінорів у просторовій групі, до стандартного вигляду $\omega'(r_2, r_1) = \omega'_s(r_2, r_1) = \omega'_{1,\mathbf{k}}(r_2, r_1)\omega'_2(r_2, r_1)$, $u_2(r)$ – функція, яка приводить фактор-систему $\omega_2(r_2, r_1)$, що визначається перетвореннями спінорів при операціях симетрії груп напрямків груп хвильових векторів $F_{\mathbf{k}}$, до стандартного вигляду $\omega'_2(r_2, r_1)$; $D(r)$ – незвідні представлення, що відповідають стандартним фактор-системам того проективного класу,

до якого належить фактор-система $\omega(r_2, r_1)$, та $\chi_{D(r)}$ – характери незвідніх проективних представлень $D(r)$.

Побудова фактор-системи $\omega_1(r_2, r_1) \equiv \omega_{1,\mathbf{k}}(r_2, r_1)$ проводиться за формулою [6]

$$\omega_{1,\mathbf{k}}(r_2, r_1) = e^{i(\mathbf{k}-r_2^{-1}\mathbf{k})\boldsymbol{\alpha}_1} \quad (8)$$

і для кожної з точок зони Бріллюена не викликає труднощів. Нескладно також визначити проективний клас, якому ця фактор-система належить [6].

Перетворення спінорів – хвильових функцій станів з напівцілим спіном характеризуються двозначними представленнями. Для їх побудови часто використовують метод Бете [7], заснований на введенні додаткового абстрактного з геометричної точки зору елемента симетрії q , який комутує зі всіма операціями симетрії і трактується як поворот квантової системи на кут 2π навколо довільної осі 1. Такий елемент змінює знак спінору, який характеризує квантові стани, на протилежний, і тому відповідне представлення групи симетрії і називають двозначним. Наступний крок за методом Бете – побудова подвійної групи, яка містить $2n$ елементів – n “поворотних” елементів симетрії r та n додаткових елементів qr . Далі знаходяться незвідні представлення подвійної групи, з котрих додаткові по відношенню до представлень звичайної групи і є двозначними представленнями звичайної групи симетрії. Така методика побудови двозначних представлень не враховує той факт, що ці представлення повинні бути проективними представленнями звичайної групи симетрії, для побудови яких немає необхідності будувати подвійну абстрактну групу Бете, а потрібно лише знайти фактор-системи $\omega_2(r_2, r_1)$, які відображають перетворення хвильових функцій квантових систем з напівцілим спіном.

Фактор-система $\omega_2(r_2, r_1)$ визначається умовою

$$\omega_2(r_2, r_1) = \begin{cases} 1 & \text{при } 0 \leq \vartheta < 2\pi, \\ -1 & \text{при } 2\pi \leq \vartheta < 4\pi, \end{cases} \quad (9)$$

де ϑ – кут повороту при обертанні, що відповідає добутку елементів $r_2 r_1$. Проективний клас, до якого вона належить, також легко встановити [6].

Дамо визначення стандартної фактор-системи для проективних представлень проективного класу K_i .

Стандартними фактор-системами для проективних представлень різних проективних класів K_i некомутативних (неабелевих) точкових груп симетрії порядку h називатимемо фактор-системи $\omega'(r_2, r_1)$, які складаються з дійсних коефіцієнтів 1 і -1 і містять максимальне число періодів за елементами r_2 , що утворюють суміжні класи, які формують фактор-групи за відповідними інваріантними підгрупами.

Якщо врахувати, що стандартні фактор-системи для представлень проективного класу K_0 повністю складаються з коефіцієнтів, рівних 1, а матриці незвідних представлень, відповідних стандартним фактор-системам і для класу K_0 , де вони співпадають із звичайними векторними представленнями, і для класу K_1 , де їх легко розрахувати за перетвореннями кутового моменту з напівцилім квантовим числом j відомі, то задача побудови незвідних проективних представлень класу K_1 повних просторових груп симетрії, зокрема, спінорних представлень, зводиться до задачі побудови фактор-систем $\omega_2(r_2, r_1)$, встановлення вигляду стандартних фактор-систем класу K_1 і знаходження функцій $u_2(r)$, які приводять фактор-системи $\omega_2(r_2, r_1)$ до p -еквівалентного стандартного вигляду $\omega'_2(r_2, r_1)$.

5. Методика побудови фактор-систем $\omega_2(r_2, r_1)$, що описують перетворення спінорів під дією операції симетрії, та їх зведення до стандартного вигляду $\omega'_2(r_2, r_1)$

Побудуємо фактор-систему $\omega_2(r_2, r_1)$, яка описує перетворення спінових змінних для групи симетрії $6/mmm$ (D_{6h}).

У ролі твірних елементів групи $6/mmm$ вибираємо елементи

$$a = c_3, \quad b = (u_2)_1, \quad c = c_2, \quad d = i. \quad (10)$$

При такому виборі твірних елементів враховується принцип композиції, відповідно до якого група $6/mmm$ може бути представлена як прямий добуток груп 622 і $\bar{1}$ ($6/mmm = 622 \times \bar{1}$), далі, група 622 – як прямий добуток груп 32 і 2 ($622 = 32 \times 2$), а група 32 – як прямий добуток груп 3 і $2'$ ($32 = 3 \times 2'$).

Скориставшись визначаючими співвідношеннями, яким задовольняють вибрані твірні елементи, обчислимо всі значення $\omega_2(r_2, r_1)$. Суттєво, що при

цьому за визначаючі співвідношення повинні бути узяті визначаючі співвідношення для подвійної групи $(6/mmm)'$:

$$\begin{aligned} a^6 &= e, & b^4 &= e, & c^4 &= e, & d^2 &= e, \\ ab &= qba^2, & ac &= ca, & ad &= da, \\ bc &= qcb, & bd &= db, & cd &= dc. \end{aligned} \quad (11)$$

При встановленні алгебраїчних виразів для елементів подвійної групи $(6/mmm)'$ через її твірні елементи скористаємося загальним для елементів нескінченої подвійної групи обертань K' співвідношенням [6, 8]:

$$f^{-1}c_1(\alpha)f = c_{f^{-1}1}(\alpha), \quad (12)$$

де $c_1(\alpha)$ – поворот на кут α навколо осі 1, а f – довільне обертання в подвійній групі обертань з трактуванням одничної операції, як повороту на кут 4π . Саме це співвідношення дозволяє одержати вказані вище перестановочні визначаючі співвідношення і алгебраїчні вирази для елементів подвійної групи через елементи, що її створюють [8]. Наприклад, для визначення елемента подвійної групи $(u_2)_2$ одержимо $c_3(u_2)_1qc_3^2 = (u_2)_2$, що приводить до виразу:

$$(u_2)_2 = qaba^2 = qqba^2a^2 = ba^4 = qba. \quad (13)$$

Відзначимо, що в ролі твірних елементів можна скористатися і іншим їх вибором, але це приведе до зміни для них і визначаючих співвідношень. При твірних елементах (11), як легко бачити, для елементів подвійної групи $(6/mmm)'$ одержимо такі їх алгебраїчні вирази: $e = d^0c^0b^0a^0$, $c_3 = d^0c^0b^0a^1$, $c_3^2 = d^0c^0b^0a^2$, $(u_2)_1 = d^0c^0b^1a^0$, $(u_2)_2 = qd^0c^0b^1a^1$, $(u_2)_3 = d^0c^0b^1a^2$, $c_2 = d^0c^1b^0a^0$, $c_6^5 = d^0c^1b^0a^1$, $c_6 = qd^0c^1b^0a^2$, $(u'_2)_1 = d^0c^1b^1a^0$, $(u'_2)_2 = qd^0c^1b^1a^1$, $(u'_2)_3 = d^0c^1b^1a^2$, $i = d^1c^0b^0a^0$, $ic_3 = d^1c^0b^0a^1$, $ic_3^2 = d^1c^0b^0a^2$, $i(u_2)_1 = (\sigma_d)_1 = d^1c^0b^1a^0$, $i(u_2)_2 = (\sigma_d)_2 = qd^1c^0b^1a^1$, $i(u_2)_3 = (\sigma_d)_3 = d^1c^0b^1a^2$, $ic_2 = \sigma_h = d^1c^1b^0a^0$, $ic_6^5 = d^1c^1b^0a^1$, $ic_6 = qd^1c^1b^0a^2$, $i(u'_2)_1 = (\sigma'_d)_1 = d^1c^1b^1a^0$, $i(u'_2)_2 = (\sigma'_d)_2 = qd^1c^1b^1a^1$, $i(u'_2)_3 = (\sigma'_d)_3 = d^1c^1b^1a^2$.

Розрахована у такий спосіб для групи $6/mmm$ фактор-система $\omega_2(r_2, r_1)$ наведена в табл. 1. Ця фактор-система відноситься до проективного класу K_1 , оскільки для неї $\alpha = -1$, $\beta = 1$ і $\gamma = 1$. Нижнім індексом біля значень коефіцієнтів фактор-системи $\omega_2(r_2, r_1)$ в табл. 1, що містять цифри в круглих дужках, представлено таблицю множення

Таблиця 1. Фактор-система $\omega_2(r_2, r_1)$ для групи 6/tmm (D_{6h}). **У** нижній частині таблиці наведені значення функції $u_2(r)$, що приводять фактор-систему $\omega_2(r_2, r_1)$ до стандартного вигляду $\omega'_2(r_2, r_1) \equiv \omega'_{(1)}(r_2, r_1)$ для групи 6/tmm

$\omega_2(r_2, r_1)$	r'_1	r'_2	1	2	3	4	5	6	7	8	9	10	11	12	13	14	15	16	17	18	19	20	21	22	23	24
	e		1 ₍₁₎	1 ₍₂₎	1 ₍₃₎	1 ₍₄₎	1 ₍₅₎	1 ₍₆₎	1 ₍₇₎	1 ₍₈₎	1 ₍₉₎	1 ₍₁₀₎	1 ₍₁₁₎	1 ₍₁₂₎	1 ₍₁₃₎	1 ₍₁₄₎	1 ₍₁₅₎	1 ₍₁₆₎	1 ₍₁₇₎	1 ₍₁₈₎	1 ₍₁₉₎	1 ₍₂₀₎	1 ₍₂₁₎	1 ₍₂₂₎	1 ₍₂₃₎	1 ₍₂₄₎
1	c_3		1 ₍₂₎	1 ₍₃₎	1 ₍₄₎	1 ₍₅₎	1 ₍₆₎	1 ₍₇₎	1 ₍₈₎	1 ₍₉₎	1 ₍₁₀₎	1 ₍₁₁₎	1 ₍₁₂₎	1 ₍₁₃₎	1 ₍₁₄₎	1 ₍₁₅₎	1 ₍₁₆₎	1 ₍₁₇₎	1 ₍₁₈₎	1 ₍₁₉₎	1 ₍₂₀₎	1 ₍₂₁₎	1 ₍₂₂₎	1 ₍₂₃₎	1 ₍₂₄₎	
2	c_3^2		1 ₍₃₎	1 ₍₄₎	1 ₍₅₎	1 ₍₆₎	1 ₍₇₎	1 ₍₈₎	1 ₍₉₎	1 ₍₁₀₎	1 ₍₁₁₎	1 ₍₁₂₎	1 ₍₁₃₎	1 ₍₁₄₎	1 ₍₁₅₎	1 ₍₁₆₎	1 ₍₁₇₎	1 ₍₁₈₎	1 ₍₁₉₎	1 ₍₂₀₎	1 ₍₂₁₎	1 ₍₂₂₎	1 ₍₂₃₎	1 ₍₂₄₎		
3	c_3^3		1 ₍₄₎	1 ₍₅₎	1 ₍₆₎	1 ₍₇₎	1 ₍₈₎	1 ₍₉₎	1 ₍₁₀₎	1 ₍₁₁₎	1 ₍₁₂₎	1 ₍₁₃₎	1 ₍₁₄₎	1 ₍₁₅₎	1 ₍₁₆₎	1 ₍₁₇₎	1 ₍₁₈₎	1 ₍₁₉₎	1 ₍₂₀₎	1 ₍₂₁₎	1 ₍₂₂₎	1 ₍₂₃₎	1 ₍₂₄₎			
4	$(u'_2)_1$		1 ₍₄₎	1 ₍₅₎	1 ₍₆₎	1 ₍₇₎	1 ₍₈₎	1 ₍₉₎	1 ₍₁₀₎	1 ₍₁₁₎	1 ₍₁₂₎	1 ₍₁₃₎	1 ₍₁₄₎	1 ₍₁₅₎	1 ₍₁₆₎	1 ₍₁₇₎	1 ₍₁₈₎	1 ₍₁₉₎	1 ₍₂₀₎	1 ₍₂₁₎	1 ₍₂₂₎	1 ₍₂₃₎	1 ₍₂₄₎			
5	$(u'_2)_2$		1 ₍₅₎	1 ₍₆₎	1 ₍₇₎	1 ₍₈₎	1 ₍₉₎	1 ₍₁₀₎	1 ₍₁₁₎	1 ₍₁₂₎	1 ₍₁₃₎	1 ₍₁₄₎	1 ₍₁₅₎	1 ₍₁₆₎	1 ₍₁₇₎	1 ₍₁₈₎	1 ₍₁₉₎	1 ₍₂₀₎	1 ₍₂₁₎	1 ₍₂₂₎	1 ₍₂₃₎	1 ₍₂₄₎				
6	$(u'_2)_3$		1 ₍₆₎	1 ₍₇₎	1 ₍₈₎	1 ₍₉₎	1 ₍₁₀₎	1 ₍₁₁₎	1 ₍₁₂₎	1 ₍₁₃₎	1 ₍₁₄₎	1 ₍₁₅₎	1 ₍₁₆₎	1 ₍₁₇₎	1 ₍₁₈₎	1 ₍₁₉₎	1 ₍₂₀₎	1 ₍₂₁₎	1 ₍₂₂₎	1 ₍₂₃₎	1 ₍₂₄₎					
7	c_2		1 ₍₇₎	1 ₍₈₎	1 ₍₉₎	1 ₍₁₀₎	1 ₍₁₁₎	1 ₍₁₂₎	1 ₍₁₃₎	1 ₍₁₄₎	1 ₍₁₅₎	1 ₍₁₆₎	1 ₍₁₇₎	1 ₍₁₈₎	1 ₍₁₉₎	1 ₍₂₀₎	1 ₍₂₁₎	1 ₍₂₂₎	1 ₍₂₃₎	1 ₍₂₄₎						
8	c_6^5		1 ₍₈₎	1 ₍₉₎	1 ₍₁₀₎	1 ₍₁₁₎	1 ₍₁₂₎	1 ₍₁₃₎	1 ₍₁₄₎	1 ₍₁₅₎	1 ₍₁₆₎	1 ₍₁₇₎	1 ₍₁₈₎	1 ₍₁₉₎	1 ₍₂₀₎	1 ₍₂₁₎	1 ₍₂₂₎	1 ₍₂₃₎	1 ₍₂₄₎							
9	c_6		1 ₍₉₎	1 ₍₇₎	1 ₍₈₎	1 ₍₁₁₎	1 ₍₁₂₎	1 ₍₁₀₎	1 ₍₃₎	1 ₍₁₎	1 ₍₂₎	1 ₍₅₎	1 ₍₆₎	1 ₍₄₎	1 ₍₂₁₎	1 ₍₁₉₎	1 ₍₂₀₎	1 ₍₂₃₎	1 ₍₂₂₎	1 ₍₁₅₎	1 ₍₁₃₎	1 ₍₁₇₎	1 ₍₁₈₎	1 ₍₁₆₎		
10	$(u'_2)_1$		1 ₍₁₀₎	1 ₍₁₁₎	1 ₍₁₂₎	1 ₍₁₃₎	1 ₍₁₄₎	1 ₍₁₅₎	1 ₍₁₆₎	1 ₍₁₇₎	1 ₍₁₈₎	1 ₍₁₉₎	1 ₍₂₀₎	1 ₍₂₁₎	1 ₍₂₂₎	1 ₍₂₃₎	1 ₍₂₄₎	1 ₍₁₇₎	1 ₍₁₆₎	1 ₍₁₈₎	1 ₍₁₉₎	1 ₍₁₄₎	1 ₍₁₅₎			
11	$(u'_2)_2$		1 ₍₁₁₎	1 ₍₁₂₎	1 ₍₁₃₎	1 ₍₁₄₎	1 ₍₁₅₎	1 ₍₁₆₎	1 ₍₁₇₎	1 ₍₁₈₎	1 ₍₁₉₎	1 ₍₂₀₎	1 ₍₂₁₎	1 ₍₂₂₎	1 ₍₂₃₎	1 ₍₂₄₎	1 ₍₁₂₎	1 ₍₂₀₎	1 ₍₁₉₎	1 ₍₁₈₎	1 ₍₁₇₎	1 ₍₁₆₎	1 ₍₁₅₎	1 ₍₁₇₎		
12	$(u'_2)_3$		1 ₍₁₂₎	1 ₍₁₀₎	1 ₍₁₁₎	1 ₍₈₎	1 ₍₉₎	1 ₍₆₎	1 ₍₇₎	1 ₍₄₎	1 ₍₅₎	1 ₍₃₎	1 ₍₂₎	1 ₍₁₎	1 ₍₂₁₎	1 ₍₁₉₎	1 ₍₂₀₎	1 ₍₂₃₎	1 ₍₂₂₎	1 ₍₁₅₎	1 ₍₁₃₎	1 ₍₁₇₎	1 ₍₁₈₎	1 ₍₁₆₎		
13	i		1 ₍₁₃₎	1 ₍₁₄₎	1 ₍₁₅₎	1 ₍₁₆₎	1 ₍₁₇₎	1 ₍₁₈₎	1 ₍₁₉₎	1 ₍₂₀₎	1 ₍₂₁₎	1 ₍₂₂₎	1 ₍₂₃₎	1 ₍₂₄₎	1 ₍₁₎	1 ₍₂₎	1 ₍₃₎	1 ₍₄₎	1 ₍₅₎	1 ₍₆₎	1 ₍₇₎	1 ₍₈₎	1 ₍₉₎	1 ₍₁₀₎	1 ₍₁₁₎	
14	ic_3		1 ₍₁₄₎	1 ₍₁₅₎	1 ₍₁₃₎	1 ₍₁₈₎	1 ₍₁₆₎	1 ₍₁₇₎	1 ₍₂₀₎	1 ₍₂₁₎	1 ₍₁₉₎	1 ₍₂₄₎	1 ₍₂₃₎	1 ₍₂₂₎	1 ₍₂₁₎	1 ₍₂₀₎	1 ₍₁₉₎	1 ₍₂₃₎	1 ₍₂₂₎	1 ₍₂₁₎	1 ₍₁₇₎	1 ₍₁₆₎	1 ₍₁₅₎	1 ₍₁₃₎	1 ₍₁₄₎	
15	ic_3^2		1 ₍₁₅₎	1 ₍₁₃₎	1 ₍₁₄₎	1 ₍₁₇₎	1 ₍₁₈₎	1 ₍₁₆₎	1 ₍₁₅₎	1 ₍₁₂₎	1 ₍₁₁₎	1 ₍₂₀₎	1 ₍₂₁₎	1 ₍₂₃₎	1 ₍₂₄₎	1 ₍₂₎	1 ₍₃₎	1 ₍₄₎	1 ₍₅₎	1 ₍₆₎	1 ₍₇₎	1 ₍₈₎	1 ₍₉₎	1 ₍₁₀₎	1 ₍₁₂₎	
16	$i(u'_2)_1$		1 ₍₁₆₎	1 ₍₁₇₎	1 ₍₁₈₎	1 ₍₁₃₎	1 ₍₁₄₎	1 ₍₁₅₎	1 ₍₂₂₎	1 ₍₂₃₎	1 ₍₂₄₎	1 ₍₁₉₎	1 ₍₂₀₎	1 ₍₂₁₎	1 ₍₂₀₎	1 ₍₁₉₎	1 ₍₂₄₎	1 ₍₂₃₎	1 ₍₂₂₎	1 ₍₁₉₎	1 ₍₁₈₎	1 ₍₁₇₎	1 ₍₁₆₎	1 ₍₁₅₎	1 ₍₁₃₎	
17	$i(u'_2)_2$		1 ₍₁₇₎	1 ₍₁₈₎	1 ₍₁₆₎	1 ₍₁₅₎	1 ₍₁₃₎	1 ₍₁₄₎	1 ₍₂₃₎	1 ₍₂₄₎	1 ₍₂₂₎	1 ₍₂₁₎	1 ₍₂₀₎	1 ₍₁₉₎	1 ₍₂₃₎	1 ₍₂₂₎	1 ₍₂₁₎	1 ₍₂₀₎	1 ₍₁₉₎	1 ₍₁₈₎	1 ₍₁₇₎	1 ₍₁₆₎	1 ₍₁₅₎	1 ₍₁₂₎		
18	$i(u'_2)_3$		1 ₍₁₈₎	1 ₍₁₆₎	1 ₍₁₇₎	1 ₍₁₄₎	1 ₍₁₅₎	1 ₍₁₃₎	1 ₍₂₄₎	1 ₍₂₂₎	1 ₍₂₃₎	1 ₍₁₉₎	1 ₍₂₀₎	1 ₍₂₁₎	1 ₍₂₂₎	1 ₍₂₃₎	1 ₍₂₄₎	1 ₍₁₂₎	1 ₍₁₉₎	1 ₍₁₈₎	1 ₍₁₇₎	1 ₍₁₆₎	1 ₍₁₅₎	1 ₍₁₄₎	1 ₍₁₀₎	
19	ic_2		1 ₍₁₉₎	1 ₍₂₀₎	1 ₍₂₁₎	1 ₍₂₂₎	1 ₍₂₃₎	1 ₍₂₄₎	1 ₍₁₃₎	1 ₍₁₄₎	1 ₍₁₅₎	1 ₍₁₆₎	1 ₍₁₇₎	1 ₍₁₈₎	1 ₍₁₉₎	1 ₍₁₀₎	1 ₍₁₁₎	1 ₍₁₂₎	1 ₍₁₃₎	1 ₍₁₄₎	1 ₍₁₅₎	1 ₍₁₆₎	1 ₍₁₇₎	1 ₍₁₈₎	1 ₍₁₉₎	
20	ic_6^5		1 ₍₂₀₎	1 ₍₂₁₎	1 ₍₁₉₎	1 ₍₂₂₎	1 ₍₂₃₎	1 ₍₂₄₎	1 ₍₂₁₎	1 ₍₂₂₎	1 ₍₂₃₎	1 ₍₁₄₎	1 ₍₁₅₎	1 ₍₁₆₎	1 ₍₁₇₎	1 ₍₁₈₎	1 ₍₁₉₎	1 ₍₁₂₎	1 ₍₁₃₎	1 ₍₁₄₎	1 ₍₁₅₎	1 ₍₁₆₎	1 ₍₁₇₎	1 ₍₁₈₎	1 ₍₁₉₎	
21	ic_6		1 ₍₂₁₎	1 ₍₁₉₎	1 ₍₂₀₎	1 ₍₂₃₎	1 ₍₂₄₎	1 ₍₂₂₎	1 ₍₁₅₎	1 ₍₁₃₎	1 ₍₁₄₎	1 ₍₁₇₎	1 ₍₁₈₎	1 ₍₁₆₎	1 ₍₁₉₎	1 ₍₁₇₎	1 ₍₁₈₎	1 ₍₁₅₎	1 ₍₁₆₎	1 ₍₁₇₎	1 ₍₁₈₎	1 ₍₁₉₎	1 ₍₁₆₎	1 ₍₁₄₎		
22	$i(u'_2)_1$		1 ₍₂₂₎	1 ₍₂₃₎	1 ₍₂₄₎	1 ₍₁₉₎	1 ₍₂₀₎	1 ₍₂₁₎	1 ₍₁₆₎	1 ₍₁₇₎	1 ₍₁₈₎	1 ₍₁₉₎	1 ₍₂₀₎	1 ₍₂₁₎	1 ₍₂₂₎	1 ₍₂₃₎	1 ₍₂₄₎	1 ₍₁₀₎	1 ₍₁₁₎	1 ₍₁₂₎	1 ₍₁₃₎	1 ₍₁₄₎	1 ₍₁₅₎	1 ₍₁₆₎	1 ₍₁₇₎	
23	$i(u'_2)_2$		1 ₍₂₃₎	1 ₍₂₄₎	1 ₍₂₁₎	1 ₍₂₂₎	1 ₍₂₃₎	1 ₍₂₄₎	1 ₍₁₉₎	1 ₍₂₀₎	1 ₍₂₁₎	1 ₍₁₇₎	1 ₍₁₈₎	1 ₍₁₆₎	1 ₍₁₅₎	1 ₍₁₄₎	1 ₍₁₃₎	1 ₍₁₂₎	1 ₍₁₁₎	1 ₍₁₀₎	1 ₍₁₁₎	1 ₍₁₂₎	1 ₍₁₃₎	1 ₍₁₄₎	1 ₍₁₅₎	
24	$i(u'_2)_3$		1 ₍₂₄₎	1 ₍₂₂₎	1 ₍₂₃₎	1 ₍₂₀₎	1 ₍₂₁₎	1 ₍₂₂₎	1 ₍₁₉₎	1 ₍₁₈₎	1 ₍₁₆₎	1 ₍₁₇₎	1 ₍₁₄₎	1 ₍₁₅₎	1 ₍₁₃₎	1 ₍₁₂₎	1 ₍₁₁₎	1 ₍₁₀₎	1 ₍₁₁₎	1 ₍₁₂₎	1 ₍₁₃₎	1 ₍₁₄₎	1 ₍₁₅₎	1 ₍₁₆₎	1 ₍₁₇₎	
	$u_2(r)$		1	-1	1	i																				

елементів групи $6/mmm$ (числами у дужках вказані цифрові позначення елементів, які відповідають добуткам $r_2 r_1$).

Слід зазначити, що О.В. Ковальовим [1, 2] була здійснена спроба побудувати цю фактор-систему у вигляді таблиці множення спінорів у групі $6/mmm$. Проте, цю спробу можна визнати невдалою, оскільки з 576 значень таблиці, одержаної в [1, 2], протилежний знак мають 216 значень. Справа в тому, що у вираз для хвильової функції-спінору для квантової системи з напівцілим спіном входить додатковий множник c [9]. Цей множник може приймати одне з двох значень: +1 або -1 [9]. Дійсно, при повороті на кут 2π навколо довільної осі спінор змінює свій знак на протилежний. Якраз в цьому і полягає двозначність матриці представлення для кожного з “поворотних” елементів симетрії. Але така двозначність допустима, без обмеження узагальнення розгляду, тільки для твірних “поворотних” елементів симетрії групи кристалічного класу. Для інших елементів симетрії, які є добутками різних ступенів твірних елементів групи, цей множник вже не може приймати довільне з двох значень – він завжди приймає те значення, яке випливає із співвідношення, що визначає цей елемент. Тобто, довільність у виборі “внутрішнього” знака спінора для твірних елементів групи не впливає на значення коефіцієнтів фактор-системи. В роботах [1, 2], на жаль, знак спінора при перетворенні за допомогою будь-якого “поворотного” елемента групи кристалічного класу визначався за алгебраїчними виразами для геометричного образу елемента в звичайному, однозначному при поворотах, тривимірному просторі, тобто, для кожного із нетвірних “поворотних” елементів групи він визначався довільно.

Правильність розрахунку фактор-системи $\omega_2(r_2, r_1)$ нашим способом доводиться тим, що, по-перше, вона приводиться перетворенням (5) за допомогою вказаних у нижній частині табл. 1 коефіцієнтів $u_2(r)$, розрахованих за формулами (13.3), (14.18) і (14.19) [6], до p -еквівалентного блоково-симетричного вигляду, який відповідає визначеню стандартної фактор-системи, тобто, фактор-системи $\omega'_2(r_2, r_1)$. По-друге, ці ж коефіцієнти $u_2(r)$ при перетворенні за формулою (4) матриця незвідних проективних представлень та їх характерів, що відповідають стандартній фактор-системі, які можна одержати незалежно

при використанні вказаний у [6] методиці побудови розширеної групи – групи представлень, де вони визначаються за її однозначними незвідними представленнями і є додатковими до звичайних незвідних векторних представлень [6], дають матриці та характеристи спінорних представлень точно такі, які можна одержати за допомогою подвійної групи за методом Бете. Це доводить, що фактор-система $\omega'_2(r_2, r_1)$ дійсно є стандартною фактор-системою проективного класу K_1 групи $6/mmm$.

Знаючи вигляд стандартної фактор-системи класу $K_1 \omega'_2(r_2, r_1)$, ми, як це зроблено далі, здатні побудувати стандартні фактор-системи, а, отже, і незвідні проективні представлення для всіх проективних класів.

Оскільки фактор-системи $\omega_2(r_2, r_1)$ і $\omega'_2(r_2, r_1)$ для групи симетрії $6/mmm$ належать проективному класу K_1 , то для цієї групи стандартна фактор-система $\omega'_2(r_2, r_1)$ співпадає із стандартною фактор-системою $\omega'_{(1)}(r_2, r_1)[\omega'_2(r_2, r_1) \equiv \equiv \omega'_{(1)}(r_2, r_1)]$, де в символі стандартної фактор-системи цифрою в його нижньому індексі в круглих дужках позначений її проективний клас. Стандартний вигляд фактор-системи $\omega_2(r_2, r_1)$, що визначається $\omega'_2(r_2, r_1)$ [для групи $6/mmm$ $\omega'_2(r_2, r_1) = \omega'_{(1)}(r_2, r_1)$], наведений в табл. 2. В наведеній табл. 2 використана додаткова розбивка елементів симетрії групи $6/mmm$ на блоки a , b , c і d по горизонталі та блоки $a(a_1, a_2)$, $b(b_1, b_2)$, $c(c_1, c_2)$, і $d(d_1, d_2)$ по вертикальні. Ця розбивка дозволяє використовувати застосовану нижче компактну форму запису фактор-систем, в якій коефіцієнти, що мають однакові значення в кожному з блоків, замінюються одним значенням одного коефіцієнта, однаковим для всіх коефіцієнтів блоку. В табл. 2 і нижче суцільними лініями виділені контури таких блоків для коефіцієнтів, що мають значення “-1”.

6. Характери незвідних представлень подвійної групи $(6/mmm)'$ та незвідних проективних представлень групи $6/mmm$, що відповідають двозначним проективним представленням класу K_1 – спінорним та відповідним стандартнім фактор-системі

У табл. 3 наведені характеристи незвідних представлень подвійної групи $(6/mmm)'$ (D'_{6h}), додаткові однозначні незвідні представлення якої (додаткові до звичайних векторних однозначних незві-

Таблиця 2. Стандартна фактор-система $\omega'_1(\vec{r}_2, r_1) = \omega'_0(r_2, r_1)$ для групи 6/mm
$\omega'_1(r_2, r_1) = \omega'_0(r_2, r_1)$		a												b												c												d																																																																																																																																																																																																																																																																																																																																																																																																																																																																																																																																																																																																																																																																																																																																																																																																																									
		1			2			3			4			5			6			7			8			9			10			11			12			13			14			15			16			17			18			19			20			21			22			23			24																																																																																																																																																																																																																																																																																																																																																																																																																																																																																																																																																																																																																																																																																																																																																																																								
		c_1	c_2	c_3	c_4	c_5	c_6	c_7	c_8	c_9	c_{10}	c_{11}	c_{12}	c_{13}	c_{14}	c_{15}	c_{16}	c_{17}	c_{18}	c_{19}	c_{20}	c_{21}	c_{22}	c_{23}	c_{24}	c_{25}	c_{26}	c_{27}	c_{28}	c_{29}	c_{30}	c_{31}	c_{32}	c_{33}	c_{34}	c_{35}	c_{36}	c_{37}	c_{38}	c_{39}	c_{40}	c_{41}	c_{42}	c_{43}	c_{44}	c_{45}	c_{46}	c_{47}	c_{48}	c_{49}	c_{50}	c_{51}	c_{52}	c_{53}	c_{54}	c_{55}	c_{56}	c_{57}	c_{58}	c_{59}	c_{60}	c_{61}	c_{62}	c_{63}	c_{64}	c_{65}	c_{66}	c_{67}	c_{68}	c_{69}	c_{70}	c_{71}	c_{72}	c_{73}	c_{74}	c_{75}	c_{76}	c_{77}	c_{78}	c_{79}	c_{80}	c_{81}	c_{82}	c_{83}	c_{84}	c_{85}	c_{86}	c_{87}	c_{88}	c_{89}	c_{90}	c_{91}	c_{92}	c_{93}	c_{94}	c_{95}	c_{96}	c_{97}	c_{98}	c_{99}	c_{100}	c_{101}	c_{102}	c_{103}	c_{104}	c_{105}	c_{106}	c_{107}	c_{108}	c_{109}	c_{110}	c_{111}	c_{112}	c_{113}	c_{114}	c_{115}	c_{116}	c_{117}	c_{118}	c_{119}	c_{120}	c_{121}	c_{122}	c_{123}	c_{124}	c_{125}	c_{126}	c_{127}	c_{128}	c_{129}	c_{130}	c_{131}	c_{132}	c_{133}	c_{134}	c_{135}	c_{136}	c_{137}	c_{138}	c_{139}	c_{140}	c_{141}	c_{142}	c_{143}	c_{144}	c_{145}	c_{146}	c_{147}	c_{148}	c_{149}	c_{150}	c_{151}	c_{152}	c_{153}	c_{154}	c_{155}	c_{156}	c_{157}	c_{158}	c_{159}	c_{160}	c_{161}	c_{162}	c_{163}	c_{164}	c_{165}	c_{166}	c_{167}	c_{168}	c_{169}	c_{170}	c_{171}	c_{172}	c_{173}	c_{174}	c_{175}	c_{176}	c_{177}	c_{178}	c_{179}	c_{180}	c_{181}	c_{182}	c_{183}	c_{184}	c_{185}	c_{186}	c_{187}	c_{188}	c_{189}	c_{190}	c_{191}	c_{192}	c_{193}	c_{194}	c_{195}	c_{196}	c_{197}	c_{198}	c_{199}	c_{200}	c_{201}	c_{202}	c_{203}	c_{204}	c_{205}	c_{206}	c_{207}	c_{208}	c_{209}	c_{210}	c_{211}	c_{212}	c_{213}	c_{214}	c_{215}	c_{216}	c_{217}	c_{218}	c_{219}	c_{220}	c_{221}	c_{222}	c_{223}	c_{224}	c_{225}	c_{226}	c_{227}	c_{228}	c_{229}	c_{230}	c_{231}	c_{232}	c_{233}	c_{234}	c_{235}	c_{236}	c_{237}	c_{238}	c_{239}	c_{240}	c_{241}	c_{242}	c_{243}	c_{244}	c_{245}	c_{246}	c_{247}	c_{248}	c_{249}	c_{250}	c_{251}	c_{252}	c_{253}	c_{254}	c_{255}	c_{256}	c_{257}	c_{258}	c_{259}	c_{260}	c_{261}	c_{262}	c_{263}	c_{264}	c_{265}	c_{266}	c_{267}	c_{268}	c_{269}	c_{270}	c_{271}	c_{272}	c_{273}	c_{274}	c_{275}	c_{276}	c_{277}	c_{278}	c_{279}	c_{280}	c_{281}	c_{282}	c_{283}	c_{284}	c_{285}	c_{286}	c_{287}	c_{288}	c_{289}	c_{290}	c_{291}	c_{292}	c_{293}	c_{294}	c_{295}	c_{296}	c_{297}	c_{298}	c_{299}	c_{300}	c_{301}	c_{302}	c_{303}	c_{304}	c_{305}	c_{306}	c_{307}	c_{308}	c_{309}	c_{310}	c_{311}	c_{312}	c_{313}	c_{314}	c_{315}	c_{316}	c_{317}	c_{318}	c_{319}	c_{320}	c_{321}	c_{322}	c_{323}	c_{324}	c_{325}	c_{326}	c_{327}	c_{328}	c_{329}	c_{330}	c_{331}	c_{332}	c_{333}	c_{334}	c_{335}	c_{336}	c_{337}	c_{338}	c_{339}	c_{340}	c_{341}	c_{342}	c_{343}	c_{344}	c_{345}	c_{346}	c_{347}	c_{348}	c_{349}	c_{350}	c_{351}	c_{352}	c_{353}	c_{354}	c_{355}	c_{356}	c_{357}	c_{358}	c_{359}	c_{360}	c_{361}	c_{362}	c_{363}	c_{364}	c_{365}	c_{366}	c_{367}	c_{368}	c_{369}	c_{370}	c_{371}	c_{372}	c_{373}	c_{374}	c_{375}	c_{376}	c_{377}	c_{378}	c_{379}	c_{380}	c_{381}	c_{382}	c_{383}	c_{384}	c_{385}	c_{386}	c_{387}	c_{388}	c_{389}	c_{390}	c_{391}	c_{392}	c_{393}	c_{394}	c_{395}	c_{396}	c_{397}	c_{398}	c_{399}	c_{400}	c_{401}	c_{402}	c_{403}	c_{404}	c_{405}	c_{406}	c_{407}	c_{408}	c_{409}	c_{410}	c_{411}	c_{412}	c_{413}	c_{414}	c_{415}	c_{416}	c_{417}	c_{418}	c_{419}	c_{420}	c_{421}	c_{422}	c_{423}	c_{424}	c_{425}	c_{426}	c_{427}	c_{428}	c_{429}	c_{430}	c_{431}	c_{432}	c_{433}	c_{434}	c_{435}	c_{436}	c_{437}	c_{438}	c_{439}	c_{440}	c_{441}	c_{442}	c_{443}	c_{444}	c_{445}	c_{446}	c_{447}	c_{448}	c_{449}	c_{450}	c_{451}	c_{452}	c_{453}	c_{454}	c_{455}	c_{456}	c_{457}	c_{458}	c_{459}	c_{460}	c_{461}	c_{462}	c_{463}	c_{464}	c_{465}	c_{466}	c_{467}	c_{468}	c_{469}	c_{470}	c_{471}	c_{472}	c_{473}	c_{474}	c_{475}	c_{476}	c_{477}	c_{478}	c_{479}	c_{480}	c_{481}	c_{482}	c_{483}	c_{484}	c_{485}	c_{486}	c_{487}	c_{488}	c_{489}	c_{490}	c_{491}	c_{492}	c_{493}	c_{494}	c_{495}	c_{496}	c_{497}	c_{498}	c_{499}	c_{500}	c_{501}	c_{502}	c_{503}	c_{504}	c_{505}	c_{506}	c_{507}	c_{508}	c_{509}	c_{510}	c_{511}	c_{512}	c_{513}	c_{514}	c_{515}	c_{516}	c_{517}	c_{518}	c_{519}	c_{520}	c_{521}	c_{522}	c_{523}	c_{524}	c_{525}	c_{526}	c_{527}	c_{528}	c_{529}	c_{530}	c_{531}	c_{532}	c_{533}	c_{534}	c_{535}	c_{536}	c_{537}	c_{538}	c_{539}	c_{540}	c_{541}	c_{542}	c_{543}	c_{544}	c_{545}	c_{546}	c_{547}	c_{548}	c_{549}	c_{550}	c_{551}	c_{552}	c_{553}	c_{554}	c_{555}	c_{556}	c_{557}	c_{558}	c_{559}	c_{560}	c_{561}	c_{562}	c_{563}	c_{564}	c_{565}	c_{566}	c_{567}	c_{568}	c_{569}	c_{570}	c_{571}	c_{572}	c_{573}	c_{574}	c_{575}	c_{576}	c_{577}	c_{578}	c_{579}	c_{580}	c_{581}	c_{582}	c_{583}	c_{584}	c_{585}	c_{586}	c_{587}	c_{588}	c_{589}	c_{590}	c_{591}	c_{592}	c_{593}	c_{594}	c_{595}	c_{596}	c_{597}	c_{598}	c_{599}	c_{600}	c_{601}	c_{602}	c_{603}	c_{604}	c_{605}	c_{606}	c_{607}	c_{608}	c_{609}	c_{610}	c_{611}	c_{612}	c_{613}	c_{614}	c_{615}	c_{616}	c_{617}	c_{618}	c_{619}	c_{620}	c_{621}	c_{622}	c_{623}	c_{624}	c_{625}	c_{626}	c_{627}	c_{628}	c_{629}	c_{630}	c_{631}	c_{632}	c_{633}	c_{634}	c_{635}	c_{636}	c_{637}	c_{638}	c_{639}	c_{640}	c_{641}	c_{642}	c_{643}	c_{644}	c_{645}	c_{646}	c_{647}	c_{648}	c_{649}	c_{650}	c_{651}	c_{652}	c_{653}	c_{654}	c_{655}	c_{656}	c_{657}	c_{658}	c_{659}	c_{660}	c_{661}	c_{662}	c_{663}	c_{664}	c_{665}	c_{666}	c_{667}	c_{668}	c_{669}	c_{670}	c_{671}	c_{672}	c_{673}	c_{674}	c_{675}	c_{676}	c_{677}	c_{678}	c_{679}	c_{680}	c_{681}	c_{682}	c_{683}	c_{684}	c_{685}	c_{686}	c_{687}	c_{688}	c_{689}	c_{690}	c_{691}	c_{692}	c_{693}	c_{694}	c_{695}	c_{696}	c_{697}	c_{698}	c_{699}	c_{700}	c_{701}	c_{702}	c_{703}	c_{704}	c_{705}	c_{706}	c_{707}	c_{708}	c_{709}	c_{710}	c_{711}	c_{712}	c_{713}	c_{714}	c_{715}	c_{716}	c_{717}	c_{718}	c_{719}	c_{720}	c_{721}	c_{722}	c_{723}	c_{724}	c_{725}	c_{726}	c_{727}	c_{728}	c_{729}	c_{730}	c_{731}	c_{732}	c_{733}	c_{734}	c_{735}	c_{736}	c_{737}	c_{738}	c_{739}	c_{740}	c_{741}	c_{742}	c_{743}	c_{744}	c_{745}	c_{746}	c_{747}	c_{748}	c_{749}	c_{750}	c_{751}	c_{752}	c_{753}	c_{754}	c_{755}	c_{756}	c_{757}	c_{758}	c_{759}	c_{760}	c_{761}	c_{762}	c_{763}	c_{764}	c_{765}	c_{766}	c_{767}	c_{768}	c_{769}	c_{770}	c_{771}	c_{772}	c_{773}	c_{774}	c_{775}	c_{776}	c_{777}	c_{778}	c_{779}	c_{780}	c_{781}	c_{782}	c_{783}	c_{784}	c_{785}	c_{786}	c_{787}	c_{788}	c_{789}	c_{790}	c_{791}	c_{792}	c_{793}	c_{794}	c_{795}	c_{796}	c_{797}	c_{798}	c_{799}	c_{800}	c_{801}	c_{802}	c_{803}	c_{804}	c_{805}	c_{806}	c_{807}	c_{808}	c_{809}	c_{810}	c_{811}	c_{812}	c_{813}	c_{814}	c_{815}	c_{816}	c_{817}	c_{818}	c_{819}	c_{820}	c_{821}	c_{822}	c_{823}	c_{824}	c_{825}	c_{826}	c_{827}	c_{828}	c_{829}	<math

Таблиця 3. Характери незвідних представлень подвійної групи $(6/mmm)' (D'_{6h})$

$(6/mmm)'$ (D'_{6h})	e	q	c_3, qc_3^2	c_3^2, qc_3	$3u_2, 3qu_2$	c_2, qc_2	c_6^5, qc_6^5	c_6, qc_6^5	$3u'_2, 3qu'_2$	i	qi	ic_3, qc_3^2	ic_3^2, qc_3	$3\sigma_d, 3q\sigma_d$	$\sigma_h, q\sigma_h$	ic_6^5, qc_6	ic_6, qc_6^5	$3\sigma'_d, 3q\sigma'_d$
Γ_1^+	A_1^+	1	1	1	1	1	1	1	1	1	1	1	1	1	1	1	1	
Γ_1^-	A_1^-	1	1	1	1	1	1	1	1	-1	-1	-1	-1	-1	-1	-1	-1	
Γ_2^+	A_2^+	1	1	1	1	1	-1	-1	-1	1	1	1	1	-1	-1	-1	-1	
Γ_2^-	A_2^-	1	1	1	1	1	-1	-1	-1	-1	-1	-1	-1	1	1	1	1	
Γ_3^+	A_3^+	1	1	1	1	-1	1	1	-1	1	1	1	-1	1	1	1	-1	
Γ_3^-	A_3^-	1	1	1	1	-1	1	1	-1	-1	-1	-1	1	-1	-1	-1	1	
Γ_4^+	A_4^+	1	1	1	1	-1	-1	-1	1	1	1	1	-1	-1	-1	-1	1	
Γ_4^-	A_4^-	1	1	1	1	-1	-1	-1	1	-1	-1	-1	1	1	1	1	-1	
Γ_5^+	E_1^+	2	2	-1	-1	0	2	-1	-1	0	2	2	-1	-1	0	2	-1	
Γ_5^-	E_1^-	2	2	-1	-1	0	2	-1	-1	0	-2	-2	1	1	0	-2	1	
Γ_6^+	E_2^+	2	2	-1	-1	0	-2	1	1	0	2	2	-1	-1	0	-2	1	
Γ_6^-	E_2^-	2	2	-1	-1	0	-2	1	1	0	-2	-2	1	1	0	2	-1	
Γ_7^+	$(E'_1)^+$	2	-2	1	-1	0	0	$\sqrt{3}$	$-\sqrt{3}$	0	2	-2	1	-1	0	0	$\sqrt{3}$	
Γ_7^-	$(E'_1)^-$	2	-2	1	-1	0	0	$\sqrt{3}$	$-\sqrt{3}$	0	-2	2	-1	1	0	0	$-\sqrt{3}$	
Γ_8^+	$(E'_2)^+$	2	-2	1	-1	0	0	$-\sqrt{3}$	$\sqrt{3}$	0	2	-2	1	-1	0	0	$-\sqrt{3}$	
Γ_8^-	$(E'_2)^-$	2	-2	1	-1	0	0	$-\sqrt{3}$	$\sqrt{3}$	0	-2	2	-1	1	0	0	$\sqrt{3}$	
Γ_9^+	$(E'_3)^+$	2	-2	-2	2	0	0	0	0	0	2	-2	-2	2	0	0	0	
Γ_9^-	$(E'_3)^-$	2	-2	-2	2	0	0	0	0	0	-2	2	2	-2	0	0	0	

дних представлень групи $6/mmm$, що можуть бути одержані з представлень групи $(6/mmm)'$ простим викреслюванням зі всіх співвідношень елементу q) і є двозначними проективними або спінорними представленнями групи $6/mmm$. Спінорні представлення позначаються символами E'_1 , E'_2 та E'_3 в системі позначень Маллікена або символами Γ_7 , Γ_8 та Γ_9 в системі позначень Костера, де великою буквою Γ позначена не тільки їх приналежність до певної точкової групи (в даному випадку групи $6/mmm$), а і до співпадаючої з нею групи направок групи хвильового вектора точки Γ в кристалах або періодичних наноструктурах. У вигляді проективних ці незвідні представлення і їх характеристи можна також одержати згідно з формулами (6) і (7), де $D(r)$ і $\chi_{D(r)}$ – проективні представлення та їх характеристи, що відповідають стандартним фактор-системам тих класів, яким належать фактор-системи $\omega(r_2, r_1)$.

Характери незвідних представлень проективних класів K_0 (звичайних однозначних або векторних) і K_1 (двозначних проективних або спінорних) наведені в табл. 4. Легко бачити, що характеристи незвідних проективних представлень класу K_1 групи $6/mmm$ збігаються з характеристиками спінорних незвідних представлень подвійної групи $(6/mmm)'$.

Характери проективних представлень проективного класу K_1 , що відповідають стандартній фактор-системі $\omega'_{(1)}(r_2, r_1)$, можна одержати, як відзначалося вище, використовуючи методику побудови групи представлень для групи $6/mmm$ [6] або, що значно простіше, скориставшись формулою (4), підставляючи в ній значення коефіцієнтів $u_2(r)$, які приводять фактор-систему $\omega_2(r_2, r_1)$ до стандартного вигляду $\omega'_{(1)}(r_2, r_1)$. Характери незвідних проективних представлень проективних класів K_0 і K_1 групи $6/mmm$, які відповідають стандартним фактор-системам $\omega'_{(0)}(r_2, r_1)$ і $\omega'_{(1)}(r_2, r_1)$, відповідно, наведені в табл. 5. Характери двовимірних проективних представлень, що відповідають стандартній фактор-системі $\omega'_{(1)}(r_2, r_1)$ в табл. 5 позначені символом P .

7. Фактор-системи, зумовлені структурою просторових груп симетрії, їх побудова та зведення до стандартного вигляду. Визначення проективних класів для коливальних та електронних збуджень в різних точках зони Бріллюена

Тепер побудуємо відповідно до формули (8) фактор-систему $\omega_{1,A}(r_2, r_1)$, яка визначається властивостями просторової групи симетрії кристала гра-

Таблиця 4. Характери однозначних і двозначних незвідних проективних представлень точки Г

Проек- тивний клас	Позначення незвідного проективного представлення	6/mmm(D_{6h})															
		e	c_3	c_3^2	$3u_2$	c_2	c_6^5	c_6	$3u'_2$	i	ic_3	ic_3^2	$3\sigma_d$	σ_h	ic_6^5	ic_6	$3\sigma'_d$
K_0	$\Gamma_1^+ A_1^+$	1	1	1	1	1	1	1	1	1	1	1	1	1	1	1	1
	$\Gamma_1^- A_1^-$	1	1	1	1	1	1	1	-1	-1	-1	-1	-1	-1	-1	-1	-1
	$\Gamma_2^+ A_2^+$	1	1	1	1	-1	-1	-1	-1	1	1	1	1	-1	-1	-1	-1
	$\Gamma_2^- A_2^-$	1	1	1	1	-1	-1	-1	-1	-1	-1	-1	-1	1	1	1	1
	$\Gamma_3^+ A_3^+$	1	1	1	-1	1	1	1	-1	1	1	1	-1	1	1	1	-1
	$\Gamma_3^- A_3^-$	1	1	1	-1	1	1	1	-1	-1	-1	1	-1	-1	-1	-1	1
	$\Gamma_4^+ A_4^+$	1	1	1	-1	-1	-1	-1	1	1	1	1	-1	-1	-1	-1	1
	$\Gamma_4^- A_4^-$	1	1	1	-1	-1	-1	-1	1	-1	-1	1	1	1	1	1	-1
	$\Gamma_5^+ E_1^+$	2	-1	-1	0	2	-1	-1	0	2	-1	-1	0	2	-1	-1	0
	$\Gamma_5^- E_1^-$	2	-1	-1	0	2	-1	-1	0	-2	1	1	0	-2	1	1	0
	$\Gamma_6^+ E_2^+$	2	-1	-1	0	-2	1	1	0	2	-1	-1	0	-2	1	1	0
	$\Gamma_6^- E_2^-$	2	-1	-1	0	-2	1	1	0	-2	1	1	0	2	-1	-1	0
K_1	$\Gamma_7^+ (E'_1)$	2	1	-1	0	0	$\sqrt{3}$	$-\sqrt{3}$	0	2	1	-1	0	0	$\sqrt{3}$	$-\sqrt{3}$	0
	$\Gamma_7^- (E'_1)$	2	1	-1	0	0	$\sqrt{3}$	$-\sqrt{3}$	0	-2	-1	1	0	0	$-\sqrt{3}$	$\sqrt{3}$	0
	$\Gamma_8^+ (E'_2)$	2	1	-1	0	0	$-\sqrt{3}$	$\sqrt{3}$	0	2	1	-1	0	0	$-\sqrt{3}$	$\sqrt{3}$	0
	$\Gamma_8^- (E'_2)$	2	1	-1	0	0	$-\sqrt{3}$	$\sqrt{3}$	0	-2	-1	1	0	0	$\sqrt{3}$	$-\sqrt{3}$	0
	$\Gamma_9^+ (E'_3)$	2	-2	2	0	0	0	0	0	2	-2	2	0	0	0	0	0
	$\Gamma_9^- (E'_3)$	2	-2	2	0	0	0	0	0	-2	2	-2	0	0	0	0	0

Таблиця 5. Характери незвідних проективних представлень проективних класів K_0 і K_1 групи 6/mmm, що відповідають стандартним фактор-системам $\omega'_{(0)}(r_2, r_1)$ і $\omega'_{(1)}(r_2, r_1)$

Проек- тивний клас	Позначення незвідного проективного представлення	6/mmm(D_{6h})															
		e	c_1	c_3^2	$3u_2$	c_2	c_6^5	c_6	$3u'_2$	i	ic_3	ic_3^2	$3\sigma_d$	σ_h	ic_6^5	ic_6	$3\sigma'_d$
K_0	$\Gamma_1^+ A_1^+$	1	1	1	1	1	1	1	1	1	1	1	1	1	1	1	1
	$\Gamma_1^- A_1^-$	1	1	1	1	1	1	1	-1	-1	-1	-1	-1	-1	-1	-1	-1
	$\Gamma_2^+ A_2^+$	1	1	1	1	-1	-1	-1	-1	1	1	1	1	-1	-1	-1	-1
	$\Gamma_2^- A_2^-$	1	1	1	1	-1	-1	-1	-1	-1	-1	-1	-1	1	1	1	1
	$\Gamma_3^+ A_3^+$	1	1	1	-1	1	1	1	-1	1	1	1	-1	1	1	1	-1
	$\Gamma_3^- A_3^-$	1	1	1	-1	1	1	1	-1	-1	-1	-1	1	-1	-1	-1	1
	$\Gamma_4^+ A_4^+$	1	1	1	-1	-1	-1	-1	1	1	1	1	-1	-1	-1	-1	1
	$\Gamma_4^- A_4^-$	1	1	1	-1	-1	-1	-1	1	-1	-1	1	1	-1	-1	-1	1
	$\Gamma_5^+ E_1^+$	2	-1	-1	0	2	-1	-1	0	2	-1	-1	0	2	-1	-1	0
	$\Gamma_5^- E_1^-$	2	-1	-1	0	2	-1	-1	0	-2	1	1	0	-2	1	1	0
	$\Gamma_6^+ E_2^+$	2	-1	-1	0	-2	1	1	0	2	-1	-1	0	-2	1	1	0
	$\Gamma_6^- E_2^-$	2	-1	-1	0	-2	1	1	0	-2	1	1	0	2	-1	-1	0
K_1	$(P_1^{(1)})^+$	2	-1	-1	0	0	$\sqrt{3}i$	$-\sqrt{3}i$	0	2	-1	-1	0	0	$\sqrt{3}i$	$-\sqrt{3}i$	0
	$(P_1^{(1)})^-$	2	-1	-1	0	0	$\sqrt{3}i$	$-\sqrt{3}i$	0	-2	1	1	0	0	$-\sqrt{3}i$	$\sqrt{3}i$	0
	$(P_2^{(1)})^+$	2	-1	-1	0	0	$-\sqrt{3}i$	$\sqrt{3}i$	0	2	-1	-1	0	0	$-\sqrt{3}i$	$\sqrt{3}i$	0
	$(P_2^{(1)})^-$	2	-1	-1	0	0	$-\sqrt{3}i$	$\sqrt{3}i$	0	-2	1	1	0	0	$\sqrt{3}i$	$-\sqrt{3}i$	0
	$(P_3^{(1)})^+$	2	2	2	0	0	0	0	0	2	2	2	0	0	0	0	0
	$(P_3^{(1)})^-$	2	2	2	0	0	0	0	0	-2	-2	-2	0	0	0	0	0

фіту і визначає однозначні незвідні проективні представлення точки A . Ця фактор-система наведена в табл. 6. Як легко бачити, обчисливши значення коефіцієнтів α , β та γ , побудована фактор-система належить проективному класу K_5 . Значення функції на групі $u_{1,A}(r)$, які приводять фактор-систему $\omega_{1,A}(r_2, r_1)$ до стандартного вигляду $\omega'_{1,A}(r_2, r_1)$, неважко знайти, використовуючи методику, викладену у [6] (формули 14.33), 10–12]. Ці значення приведені в нижній частині табл. 6. Табл. 7 є стандартною фактор-системою проективного класу K_5 – фактор-системою $\omega'_{1,A}(r_2, r_1) \equiv \omega'_{(5)}(r_2, r_1)$, яку легко одержати, скориставшись значеннями функції $u_{1,A}(r)$ і формулою (5). Характери однозначних незвідних проективних представлень для точки A неважко одержати, знаючи значення функції $u_{1,A}(r)$ і приведені в табл. 8 [6] характеристики незвідних проективних представлень класу K_5 , що відповідають стандартній фактор-системі класу K_5 . Однозначні незвідні проективні представлення для точки A наведені в табл. 9 (перші її три незвідні проективні представлення).

Легко встановити, що двозначні (спінорні) незвідні проективні представлення в точці A відносяться до проективного класу K_4 . Дійсно, перемножуючи відповідні значення констант α , β та γ , для нашого випадку знаходимо $K_1 \times K_5 = K_1 \cdot K_5 = K_1 K_5 = K_4$. Стандартна фактор-система класу K_4 – фактор-система $\omega'_{(4)}(r_2, r_1)$ ¹, коефіцієнти якої $\omega'_{(4)}(r_2, r_1) = \omega'_{(1)}(r_2, r_1)\omega'_{(5)}(r_2, r_1)$, а характеристики двозначних (спінорних) проективних представлень в точці A , що відносяться до проективного класу K_4 , наведені в табл. 9 (інші її три незвідні проективні представлення). Характери цих незвідних проективних представлень одержуємо, помноживши значення добутків $u_{1,A}(r)u_2(r)$ на приведені в табл. 8 [6] значення характерів незвідних проективних представлень класу K_4 , що відповідають стандартній фактор-системі класу K_4 .

Тепер неважко встановити й вигляд стандартних фактор-систем інших проективних класів групи $6/tmm$. Стандартні фактор-системи для

¹ Неважко бачити, що $\omega'_{(4)}(r_2, r_1) = \omega'_{2,A}(r_2, r_1) = \omega'_{1,A}(r_2, r_1)\omega'_{2}(r_2, r_1) = \omega'_{(5)}(r_2, r_1)\omega'_{(1)}(r_2, r_1) = \omega'_{(1)}(r_2, r_1)\omega'_{(5)}(r_2, r_1)$, де $\omega'_{2,A}(r_2, r_1)$ – стандартна фактор-система для відповідних її двозначних проективних представлень в точці A .

всіх восьми проективних класів групи $6/tmm$ наведені в табл. 10.

За відсутності зовнішніх магнітних полів на хвильові функції станів, і, відповідно, на представлення, накладаються додаткові умови, пов’язані із інваріантністю до інверсії часу. При виконанні цих умов для деяких станів може виникнути додаткове виродження.

8. Симетрія коливань граток та електронних π -зон і їх дисперсія для одношарового графену C_{L1} і кристалічного графіту $\gamma - C$

Представлення фундаментальних коливань кристалічних граток ($\Gamma_{\text{lat. vibr}}$) та електронних π -зон при $\mathbf{k} = 0$ (Γ_π) для одношарового графену C_{L1} та кристалічного графіту $\gamma - C$ визначаються однією тією самою точковою групою $6/tmm$ (D_{6h}). Для одношарового графену ця група описує симетрію макромолекулярного класу, а для кристалічного графіту $\gamma - C$ – симетрію його кристалічного класу. Термін “макромолекулярний клас”, на відміну від терміну “кристалічний клас”, будемо вживати для групи симетрії еквівалентних напрямків у пе-ріодичних наноструктурах з дво- або одноперіодичними нескінченною інваріантними підгрупами трансляції, в той час, як термін “кристалічний клас” – це точкова група симетрії еквівалентних напрямків в триперіодичній структурі – кристалі, де трансляційні елементи симетрії утворюють нескінченну триперіодичну підгрупу. Представлення $\Gamma_{\text{lat vibr}}$ і Γ_π визначаються формулами [13]:

$$\begin{aligned} \Gamma_{\text{lat. vibr}} &= \Gamma_{\text{eq}} \otimes \Gamma_{\text{vector}} \\ i \\ \Gamma_\pi &= \Gamma_{\text{eq}} \otimes \Gamma_z, \end{aligned} \quad (14)$$

де Γ_{eq} – представлення еквівалентності атомів у точці Γ , Γ_{vector} – представлення полярного вектора \mathbf{r} з компонентами x , y і z . Для визначення Γ_π ми використовуємо тільки Γ_z , що є незвідним представленням для вектора, направленого вздовж осі z , оскільки електронні π -зони в графені і графіті формуються електронними орбіталями p_z .

Формули (14) визначають коливальні та електронні представлення також і для елементарних збуджень з $\mathbf{k} \neq 0$ [13]. Так, для будь-якої точки зони Бріллюєна періодичних макромолекулярної та кристалічної структур характер представлення

Таблиця 6. Фактор-система $\omega_{i,A}(r_2, r_1)$ для точок А зони Брілюена кристала графіту (просторова група $P6_3/mmc$ (D_{6h}^4), уникні частин таблиці припевні значення функції $u_{i,A}(r)$, що приводять фактор-систему $\omega_{i,A}(r_2, r_1)$ по стандартному вигляду $\omega'_{i,A}(r_2, r_1) \equiv \omega'_{iS}(r_2, r_1)$.

$\omega_{i,A}(r_2, r_1)$	r_1	r_2	1	2	3	4	5	6	7	8	9	10	11	12	13	14	15	16	17	18	19	20	21	22	23	24
1	e	$1_{(1)}$	$1_{(2)}$	$1_{(3)}$	$1_{(4)}$	$1_{(5)}$	$1_{(6)}$	$1_{(7)}$	$1_{(8)}$	$1_{(9)}$	$1_{(10)}$	$1_{(11)}$	$1_{(12)}$	$1_{(13)}$	$1_{(14)}$	$1_{(15)}$	$1_{(16)}$	$1_{(17)}$	$1_{(18)}$	$1_{(19)}$	$1_{(20)}$	$1_{(21)}$	$1_{(22)}$	$1_{(23)}$	$1_{(24)}$	
2	c_3	$1_{(2)}$	$1_{(3)}$	$1_{(4)}$	$1_{(5)}$	$1_{(6)}$	$1_{(7)}$	$1_{(8)}$	$1_{(9)}$	$1_{(10)}$	$1_{(11)}$	$1_{(12)}$	$1_{(13)}$	$1_{(14)}$	$1_{(15)}$	$1_{(16)}$	$1_{(17)}$	$1_{(18)}$	$1_{(19)}$	$1_{(20)}$	$1_{(21)}$	$1_{(22)}$	$1_{(23)}$	$1_{(24)}$		
3	c_3^2	$1_{(3)}$	$1_{(4)}$	$1_{(5)}$	$1_{(6)}$	$1_{(7)}$	$1_{(8)}$	$1_{(9)}$	$1_{(10)}$	$1_{(11)}$	$1_{(12)}$	$1_{(13)}$	$1_{(14)}$	$1_{(15)}$	$1_{(16)}$	$1_{(17)}$	$1_{(18)}$	$1_{(19)}$	$1_{(20)}$	$1_{(21)}$	$1_{(22)}$	$1_{(23)}$	$1_{(24)}$			
4	$(u_2)_1$	$1_{(4)}$	$1_{(5)}$	$1_{(6)}$	$1_{(7)}$	$1_{(8)}$	$1_{(9)}$	$1_{(10)}$	$1_{(11)}$	$1_{(12)}$	$1_{(13)}$	$1_{(14)}$	$1_{(15)}$	$1_{(16)}$	$1_{(17)}$	$1_{(18)}$	$1_{(19)}$	$1_{(20)}$	$1_{(21)}$	$1_{(22)}$	$1_{(23)}$	$1_{(24)}$				
5	$(u_2)_2$	$1_{(5)}$	$1_{(6)}$	$1_{(7)}$	$1_{(8)}$	$1_{(9)}$	$1_{(10)}$	$1_{(11)}$	$1_{(12)}$	$1_{(13)}$	$1_{(14)}$	$1_{(15)}$	$1_{(16)}$	$1_{(17)}$	$1_{(18)}$	$1_{(19)}$	$1_{(20)}$	$1_{(21)}$	$1_{(22)}$	$1_{(23)}$	$1_{(24)}$					
6	$(u_2)_3$	$1_{(6)}$	$1_{(7)}$	$1_{(8)}$	$1_{(9)}$	$1_{(10)}$	$1_{(11)}$	$1_{(12)}$	$1_{(13)}$	$1_{(14)}$	$1_{(15)}$	$1_{(16)}$	$1_{(17)}$	$1_{(18)}$	$1_{(19)}$	$1_{(20)}$	$1_{(21)}$	$1_{(22)}$	$1_{(23)}$	$1_{(24)}$	$1_{(25)}$	$1_{(26)}$	$1_{(27)}$			
7	c_2	$1_{(7)}$	$1_{(8)}$	$1_{(9)}$	$1_{(10)}$	$1_{(11)}$	$1_{(12)}$	$1_{(13)}$	$1_{(14)}$	$1_{(15)}$	$1_{(16)}$	$1_{(17)}$	$1_{(18)}$	$1_{(19)}$	$1_{(20)}$	$1_{(21)}$	$1_{(22)}$	$1_{(23)}$	$1_{(24)}$	$1_{(25)}$	$1_{(26)}$	$1_{(27)}$	$1_{(28)}$			
8	c_5^3	$1_{(8)}$	$1_{(9)}$	$1_{(10)}$	$1_{(11)}$	$1_{(12)}$	$1_{(13)}$	$1_{(14)}$	$1_{(15)}$	$1_{(16)}$	$1_{(17)}$	$1_{(18)}$	$1_{(19)}$	$1_{(20)}$	$1_{(21)}$	$1_{(22)}$	$1_{(23)}$	$1_{(24)}$	$1_{(25)}$	$1_{(26)}$	$1_{(27)}$	$1_{(28)}$	$1_{(29)}$			
9	c_6	$1_{(9)}$	$1_{(7)}$	$1_{(8)}$	$1_{(11)}$	$1_{(12)}$	$1_{(10)}$	$1_{(13)}$	$1_{(14)}$	$1_{(15)}$	$1_{(16)}$	$1_{(17)}$	$1_{(18)}$	$1_{(19)}$	$1_{(21)}$	$1_{(20)}$	$1_{(23)}$	$1_{(24)}$	$1_{(22)}$	$1_{(25)}$	$1_{(26)}$	$1_{(27)}$	$1_{(28)}$			
10	$(u_2)_1$	$1_{(10)}$	$1_{(11)}$	$1_{(12)}$	$1_{(13)}$	$1_{(14)}$	$1_{(15)}$	$1_{(16)}$	$1_{(17)}$	$1_{(18)}$	$1_{(19)}$	$1_{(11)}$	$1_{(10)}$	$1_{(12)}$	$1_{(13)}$	$1_{(22)}$	$1_{(23)}$	$1_{(24)}$	$1_{(20)}$	$1_{(21)}$	$1_{(25)}$	$1_{(26)}$	$1_{(27)}$			
11	$(u_2)_2$	$1_{(11)}$	$1_{(12)}$	$1_{(10)}$	$1_{(13)}$	$1_{(14)}$	$1_{(15)}$	$1_{(16)}$	$1_{(17)}$	$1_{(18)}$	$1_{(19)}$	$1_{(11)}$	$1_{(10)}$	$1_{(12)}$	$1_{(13)}$	$1_{(23)}$	$1_{(24)}$	$1_{(22)}$	$1_{(21)}$	$1_{(26)}$	$1_{(27)}$	$1_{(28)}$	$1_{(29)}$			
12	$(u_2)_3$	$1_{(12)}$	$1_{(10)}$	$1_{(11)}$	$1_{(13)}$	$1_{(14)}$	$1_{(15)}$	$1_{(16)}$	$1_{(17)}$	$1_{(18)}$	$1_{(19)}$	$1_{(11)}$	$1_{(10)}$	$1_{(12)}$	$1_{(13)}$	$1_{(24)}$	$1_{(25)}$	$1_{(23)}$	$1_{(22)}$	$1_{(26)}$	$1_{(27)}$	$1_{(28)}$	$1_{(29)}$			
13	i	$1_{(13)}$	$1_{(14)}$	$1_{(15)}$	$1_{(16)}$	$1_{(17)}$	$1_{(18)}$	$1_{(19)}$	$1_{(20)}$	$1_{(21)}$	$1_{(22)}$	$1_{(23)}$	$1_{(24)}$	$1_{(25)}$	$1_{(26)}$	$1_{(27)}$	$1_{(28)}$	$1_{(29)}$	$1_{(20)}$	$1_{(21)}$	$1_{(25)}$	$1_{(26)}$	$1_{(27)}$			
14	iC_3	$1_{(14)}$	$1_{(15)}$	$1_{(13)}$	$1_{(18)}$	$1_{(16)}$	$1_{(17)}$	$1_{(20)}$	$1_{(21)}$	$1_{(19)}$	$1_{(22)}$	$1_{(23)}$	$1_{(24)}$	$1_{(25)}$	$1_{(26)}$	$1_{(27)}$	$1_{(28)}$	$1_{(29)}$	$1_{(20)}$	$1_{(21)}$	$1_{(25)}$	$1_{(26)}$	$1_{(27)}$			
15	iC_2^3	$1_{(15)}$	$1_{(13)}$	$1_{(14)}$	$1_{(17)}$	$1_{(18)}$	$1_{(16)}$	$1_{(19)}$	$1_{(20)}$	$1_{(21)}$	$1_{(22)}$	$1_{(23)}$	$1_{(24)}$	$1_{(25)}$	$1_{(26)}$	$1_{(27)}$	$1_{(28)}$	$1_{(29)}$	$1_{(20)}$	$1_{(21)}$	$1_{(25)}$	$1_{(26)}$	$1_{(27)}$			
16	$i(u_2)_1$	$1_{(16)}$	$1_{(17)}$	$1_{(18)}$	$1_{(13)}$	$1_{(14)}$	$1_{(15)}$	$1_{(22)}$	$1_{(23)}$	$1_{(24)}$	$1_{(19)}$	$1_{(20)}$	$1_{(21)}$	$1_{(22)}$	$1_{(23)}$	$1_{(24)}$	$1_{(25)}$	$1_{(26)}$	$1_{(27)}$	$1_{(28)}$	$1_{(29)}$	$1_{(20)}$	$1_{(21)}$			
17	$i(u_2)_2$	$1_{(17)}$	$1_{(18)}$	$1_{(16)}$	$1_{(15)}$	$1_{(13)}$	$1_{(14)}$	$1_{(23)}$	$1_{(24)}$	$1_{(22)}$	$1_{(21)}$	$1_{(19)}$	$1_{(20)}$	$1_{(23)}$	$1_{(24)}$	$1_{(25)}$	$1_{(26)}$	$1_{(27)}$	$1_{(28)}$	$1_{(29)}$	$1_{(20)}$	$1_{(21)}$	$1_{(22)}$			
18	$i(u_2)_3$	$1_{(18)}$	$1_{(16)}$	$1_{(17)}$	$1_{(14)}$	$1_{(15)}$	$1_{(13)}$	$1_{(24)}$	$1_{(22)}$	$1_{(23)}$	$1_{(20)}$	$1_{(21)}$	$1_{(19)}$	$1_{(22)}$	$1_{(23)}$	$1_{(24)}$	$1_{(25)}$	$1_{(26)}$	$1_{(27)}$	$1_{(28)}$	$1_{(29)}$	$1_{(20)}$	$1_{(21)}$			
19	iC_2	$1_{(19)}$	$1_{(20)}$	$1_{(21)}$	$1_{(22)}$	$1_{(23)}$	$1_{(24)}$	$1_{(13)}$	$1_{(14)}$	$1_{(15)}$	$1_{(16)}$	$1_{(17)}$	$1_{(18)}$	$1_{(19)}$	$1_{(20)}$	$1_{(21)}$	$1_{(22)}$	$1_{(23)}$	$1_{(24)}$	$1_{(25)}$	$1_{(26)}$	$1_{(27)}$	$1_{(28)}$			
20	iC_6^3	$1_{(20)}$	$1_{(21)}$	$1_{(19)}$	$1_{(24)}$	$1_{(23)}$	$1_{(22)}$	$1_{(21)}$	$1_{(20)}$	$1_{(19)}$	$1_{(18)}$	$1_{(17)}$	$1_{(16)}$	$1_{(15)}$	$1_{(14)}$	$1_{(13)}$	$1_{(12)}$	$1_{(11)}$	$1_{(10)}$	$1_{(11)}$	$1_{(12)}$	$1_{(13)}$	$1_{(14)}$			
21	iC_6	$1_{(21)}$	$1_{(19)}$	$1_{(20)}$	$1_{(23)}$	$1_{(24)}$	$1_{(22)}$	$1_{(15)}$	$1_{(13)}$	$1_{(14)}$	$1_{(16)}$	$1_{(17)}$	$1_{(18)}$	$1_{(19)}$	$1_{(20)}$	$1_{(21)}$	$1_{(22)}$	$1_{(23)}$	$1_{(24)}$	$1_{(25)}$	$1_{(26)}$	$1_{(27)}$	$1_{(28)}$			
22	$i(u_2)_1$	$1_{(22)}$	$1_{(23)}$	$1_{(24)}$	$1_{(19)}$	$1_{(20)}$	$1_{(21)}$	$1_{(16)}$	$1_{(17)}$	$1_{(18)}$	$1_{(19)}$	$1_{(17)}$	$1_{(18)}$	$1_{(19)}$	$1_{(20)}$	$1_{(21)}$	$1_{(22)}$	$1_{(23)}$	$1_{(24)}$	$1_{(25)}$	$1_{(26)}$	$1_{(27)}$	$1_{(28)}$			
23	$i(u_2)_2$	$1_{(23)}$	$1_{(24)}$	$1_{(22)}$	$1_{(21)}$	$1_{(19)}$	$1_{(20)}$	$1_{(17)}$	$1_{(18)}$	$1_{(19)}$	$1_{(18)}$	$1_{(19)}$	$1_{(17)}$	$1_{(18)}$	$1_{(19)}$	$1_{(20)}$	$1_{(21)}$	$1_{(22)}$	$1_{(23)}$	$1_{(24)}$	$1_{(25)}$	$1_{(26)}$	$1_{(27)}$			
24	$i(u_2)_3$	$1_{(24)}$	$1_{(22)}$	$1_{(23)}$	$1_{(20)}$	$1_{(21)}$	$1_{(19)}$	$1_{(18)}$	$1_{(17)}$	$1_{(16)}$	$1_{(15)}$	$1_{(14)}$	$1_{(13)}$	$1_{(12)}$	$1_{(11)}$	$1_{(10)}$	$1_{(11)}$	$1_{(12)}$	$1_{(13)}$	$1_{(14)}$	$1_{(15)}$	$1_{(16)}$	$1_{(17)}$			
	$u_{i,A}(r)$	1	1	1	1	1	1	1	1	1	1	1	1	1	1	1	1	1	1	1	1	1	1	1		

Таблиця 7. Стандартна фактор-система для точки А зони Бріллюена просторової групи $P6_3/mmc$ (D_{6h}^4), що збігається зі стандартною фактор-групою проективного класу K_5 точкової групи симетрії bmm

Таблиця 8. Характери незвідних представлень проективних класів K_5 і K_4 групи $6/mmm$, що відповідають стандартним фактор-системам цих класів $\omega'_{(5)}(r_2, r_1)$ і $\omega'_{(4)}(r_2, r_1)$

Проек-тивний клас	Позначення незвідного проективного представлення	$6/mmm(D_{6h})$															
		e	c_1	c_3^2	$3u_2$	c_2	c_6^5	c_6	$3u'_2$	i	ic_3	ic_3^2	$3\sigma_d$	σ_h	ic_6^5	ic_6	$3\sigma'_d$
K_5	$P_1^{(5)}$	2	2	2	0	0	0	0	0	0	0	0	2	0	0	0	0
	$P_2^{(5)}$	2	2	2	0	0	0	0	0	0	0	0	-2	0	0	0	0
	$Q^{(5)}$	4	-2	-2	0	0	0	0	0	0	0	0	0	0	0	0	0
K_4	$P_1^{(4)}$	2	2	2	2	0	0	0	0	0	0	0	0	0	0	0	0
	$P_2^{(4)}$	2	2	2	-2	0	0	0	0	0	0	0	0	0	0	0	0
	$Q^{(4)}$	4	-2	-2	0	0	0	0	0	0	0	0	0	0	0	0	0

Таблиця 9. Характери однозначних та двозначних незвідних проективних представлень точки A

Проек-тивний клас	Позначення незвідного проективного представлення	$6/mmm(D_{6h})$															
		e	c_1	c_3^2	$3u_2$	c_2	c_6^5	c_6	$3u'_2$	i	ic_3	ic_3^2	$3\sigma_d$	σ_h	ic_6^5	ic_6	$3\sigma'_d$
K_5	A_1	2	2	2	0	0	0	0	0	0	0	0	2	0	0	0	0
	A_2	2	2	2	0	0	0	0	0	0	0	0	-2	0	0	0	0
	A_3	4	-2	-2	0	0	0	0	0	0	0	0	0	0	0	0	0
K_4	$A_4 + A_5 < A_4$	2	-2	2	$2i$	0	0	0	0	0	0	0	0	0	0	0	0
	A_5	2	-2	2	$-2i$	0	0	0	0	0	0	0	0	0	0	0	0
	A_6	4	2	-2	0	0	0	0	0	0	0	0	0	0	0	0	0

еквівалентності атомів $\chi_{eq}(R_\alpha)$ для елемента симетрії макромолекулярного та кристалічного класів R_α можна визначити за формулою [13]:

$$\chi_{eq}(R_\alpha) = \sum_j \delta_{R_\alpha \mathbf{r}_j, \mathbf{r}_j} e^{i \mathbf{K}_m \mathbf{r}_j}, \quad (15)$$

де операція R_α переводить атом в еквівалентний, тобто, задовільняє умову:

$$R_\alpha \mathbf{r}_j = \mathbf{r}_j + \mathbf{R}_n, \quad (16)$$

в якій $\mathbf{R}_n = n_1 \mathbf{a}_1 + n_2 \mathbf{a}_2 + n_3 \mathbf{a}_3$ ($n_1, n_2, n_3 = 0, \pm 1, \pm 2, \dots$, а \mathbf{a}_i – базисні вектори або вектори основних трансляцій) є вектором кристалічної гратки або періодичної наноструктури, та

$$R_\alpha^{-1} \mathbf{k} = \mathbf{k} + \mathbf{K}_m, \quad (17)$$

де $\mathbf{K}_m = m_1 \mathbf{b}_1 + m_2 \mathbf{b}_2 + m_3 \mathbf{b}_3$ ($m_1, m_2, m_3 = 0, \pm 1, \pm 2, \dots$, а \mathbf{b}_j – базисні вектори оберненої гратки) є вектором оберненої гратки кристала або періодичної наноструктури. Зрозуміло, що, як це завжди

вважається, базисні вектори прямої та оберненої граток зв’язані спiввiдношеннями:

$$\mathbf{b}_j \mathbf{a}_i = 2\pi \delta_{ij}. \quad (18)$$

Обчислимо розподiл нормальних коливань за типами симетрії для рiзних точок зон Брiллюена одношарового графену C_{L1} та кристала графіту $\gamma-C$ i вiзначимо симетрiї їх електронних зон, вiщих за енергiєю з валентних зон – валентних π -зон (позначимо їх лiтерами π) та нижчих за енергiєю π -зон провiдностi (позначимо їх лiтерами π^*).

Точки Г. Легко бачити, що фактор-групи груп хвильових векторiв за iнварiантними пiдгрупами трансляцiй i для графену C_{L1} , i для кристала графіту $\gamma-C$ iзоморфнi однiй i тiй самiй точковiй групi симетрiї $6/mmm$ (D_{6h}). Це вiдноситься не тiльки для груп хвильових векторiв у точках Г графену i кристалiчного графіту, а i для всiх, позначених однаковими лiтерами, точок зон Брiллюена для структур графену i графіту. Незважаючи на

Таблиця 10. Нова класифікація проективних класів групи $6/mmm(D_{6h})$ та їх стандартні фактор-системи: 1 – клас K_0 , 2 – клас K_1 , 3 – клас K_2 , 4 – клас K_3 , 5 – клас K_4 , 6 – клас K_5 , 7 – клас K_6 , 8 – клас K_7

$K_0(\alpha=1, \beta=1, \gamma=1)$ $\omega'_{(0)}(r_2, r_1)$	$K_1(\alpha=-1, \beta=1, \gamma=1)$ $\omega'_{(1)}(r_2, r_1)$	$K_2(\alpha=1, \beta=-1, \gamma=1)$ $\omega'_{(2)}(r_2, r_1)$	$K_3(\alpha=-1, \beta=-1, \gamma=1)$ $\omega'_{(3)}(r_2, r_1)$
a a_1 1 & 1 & 1 & 1 a_2 1 & 1 & 1 & 1	a a_1 1 & 1 & 1 & 1 a_2 1 & -1 & 1 & -1	a a_1 1 & 1 & 1 & 1 a_2 1 & 1 & -1 & -1	a a_1 1 & 1 & 1 & 1 a_2 1 & -1 & -1 & 1
b b_1 1 & 1 & 1 & 1 b_2 1 & 1 & 1 & 1	b b_1 1 & 1 & 1 & 1 b_2 1 & -1 & 1 & -1	b b_1 1 & 1 & 1 & 1 b_2 1 & 1 & -1 & -1	b b_1 1 & 1 & 1 & 1 b_2 1 & -1 & -1 & 1
c c_1 1 & 1 & 1 & 1 c_2 1 & 1 & 1 & 1	c c_1 1 & 1 & 1 & 1 c_2 1 & -1 & 1 & -1	c c_1 1 & 1 & 1 & 1 c_2 1 & 1 & -1 & -1	c c_1 1 & 1 & 1 & 1 c_2 1 & -1 & -1 & 1
d d_1 1 & 1 & 1 & 1 d_2 1 & 1 & 1 & 1	d d_1 1 & 1 & 1 & 1 d_2 1 & -1 & 1 & -1	d d_1 1 & 1 & 1 & 1 d_2 1 & 1 & -1 & -1	d d_1 1 & 1 & 1 & 1 d_2 1 & -1 & -1 & 1

1	2	3	4
$K_4(\alpha=1, \beta=1, \gamma=-1)$ $\omega'_{(4)}(r_2, r_1)$	$K_5(\alpha=-1, \beta=1, \gamma=-1)$ $\omega'_{(5)}(r_2, r_1)$	$K_6(\alpha=1, \beta=-1, \gamma=-1)$ $\omega'_{(6)}(r_2, r_1)$	$K_7(\alpha=-1, \beta=-1, \gamma=-1)$ $\omega'_{(7)}(r_2, r_1)$
a a_1 1 & 1 & 1 & 1 a_2 1 & 1 & 1 & 1	a a_1 1 & 1 & 1 & 1 a_2 -1 & 1 & 1 & -1	a a_1 1 & 1 & 1 & 1 a_2 1 & 1 & -1 & -1	a a_1 1 & 1 & 1 & 1 a_2 1 & -1 & -1 & 1
b b_1 1 & 1 & -1 & -1 b_2 1 & 1 & -1 & -1	b b_1 1 & 1 & -1 & -1 b_2 -1 & -1 & 1 & 1	b b_1 1 & 1 & -1 & -1 b_2 1 & 1 & 1 & 1	b b_1 1 & 1 & -1 & -1 b_2 -1 & 1 & 1 & -1
c c_1 1 & 1 & 1 & 1 c_2 1 & 1 & 1 & 1	c c_1 1 & 1 & 1 & 1 c_2 -1 & 1 & 1 & -1	c c_1 1 & 1 & 1 & 1 c_2 1 & 1 & -1 & -1	c c_1 1 & 1 & 1 & 1 c_2 -1 & -1 & 1 & 1
d d_1 1 & 1 & -1 & -1 d_2 1 & 1 & -1 & -1	d d_1 1 & 1 & -1 & -1 d_2 -1 & -1 & 1 & 1	d d_1 1 & 1 & -1 & -1 d_2 1 & 1 & 1 & 1	d d_1 1 & 1 & -1 & -1 d_2 -1 & 1 & 1 & -1

5	6	7	8
----------	----------	----------	----------

це, характери представлення еквівалентності Γ_{eq} , що входять у формули (10), для позначеніх однаковими буквами точок зон Бріллюена графену і кристалічного графіту, оскільки останні мають різну структуру, відрізняються.

Характери представлень Γ_{eq} для одношарового графену C_{L1} і кристалічного графіту $\gamma - C$ наведені в табл. 11, де також наведені характери представлень полярного вектора $\Gamma_{vector} = \Gamma_r$ і представлення Γ_z , що визначає симетрію p_z орбіталі. В табл. 12 наведено розподіл коливально-го представлення $\Gamma_{vibr} \equiv \Gamma_{lat. vibr}$, яке легко отримати за формулою (10), представлене для акустичних і оптических фундаментальних коливальних мод Γ_{ac} і Γ_{opt} , відповідно, і представлення електронних зон Γ_π також знайденого за формулою (10), за незвідними представленнями групи $6/mmm(D_{6h})$.

Точка A. Фактор-група групи хвильового вектора в точці A за інваріантною підгрупою трансляцій для кристалів графіту $\gamma - C$ також ізоморфна групі $6/mmm(D_{6h})$. Зірка хвильового вектора точки A також, як і для точки Γ , складається з одного вектора $\mathbf{k} = -(1/2)\mathbf{b}_1$. Характер проективного представлення еквівалентності в точці A – представлення A_{eq} наведено в табл. 11, а розподіл представлень A_{vibr} і A_π за незвідними представленнями групи – в табл. 12. В табл. 13 наведені характери однозначних та двозначних незвідних проективних представлень точки Δ , проміжної між точками Γ і A. Групою еквівалентних напрямків групи хвильового вектора в точці Δ є група $6mm(C_{6v})$. Зірка хвильового вектора в цій точці містить два промені. Додаткове виродження станів при врахуванні їх інваріантності до інверсії часу відсутнє, на відміну від зумовленого інварі-

Таблиця 11. Характери представлень еквівалентності, полярного вектора (точка Γ) та Γ_z (точка Γ) для точок високої симетрії зон Бріллюена структур одношарового графену C_{L1} та кристалічного графіту $\gamma - C$

Точки Γ Точкові групи $6/mmm(D_{6h})$ Проективні класи K_0														
6/mmm(D_{6h})			e	$2c_3$	$3u_2$	c_2	$2c_6$	$3u'_2$	i	$2ic_3$	$3iu_2$	ic_2	$2ic_6$	$3iu'_2$
C_{L1}	$\mathbf{k} = 0$	Γ_{eq}	2	2	0	0	0	2	0	0	2	2	2	0
$\gamma - C$	$\mathbf{k} = 0$	Γ_{eq}	4	4	0	0	0	4	0	0	4	4	4	0
	Γ_r		3	0	-1	-1	2	-1	-3	0	1	1	-2	1
	Γ_z		1	1	-1	1	1	-1	-1	-1	1	-1	-1	1
Точка A Точкова група $6/mmm(D_{6h})$ Проективний клас K_5														
6/mmm(D_{6h})			e	$2c_3$	$3u_2$	c_2	$2c_6$	$3u'_2$	i	$2ic_3$	$3iu_2$	ic_2	$2ic_6$	$3iu'_2$
$ \gamma - C \mathbf{k} = -(1/2)\mathbf{b}_1 A_{\text{eq}}$			4	4	0	0	0	0	0	0	4	0	0	0
Точки K Точкові групи $\bar{6}m2(D_{3h})$ Проективні класи K_0														
6m2(D_{3h})				e	$2c_3$	$3u_2$	ic_2	$2ic_6$	$3iu'_2$					
C_{L1}	$(\mathbf{k}_K)_1 = -(1/3)(2\mathbf{b}_1 - \mathbf{b}_2)$ $(\mathbf{k}_K)_2 = (1/3)(2\mathbf{b}_1 - \mathbf{b}_2)$	K_{eq}	2		-1	0	2	-1	0					
$\gamma - C$	$(\mathbf{k}_K)_1 = -(1/3)(2\mathbf{b}_2 - \mathbf{b}_3)$ $(\mathbf{k}_K)_2 = (1/3)(2\mathbf{b}_2 - \mathbf{b}_3)$	K_{eq}	4		1	0	4	1	0					
Точка H Точкова група $\bar{6}m2(D_{3h})$ Проективний клас K_1														
6m2(D_{3h})				e	c_3	c_3^2	$3u_2$	ic_2	ic_6^5	ic_6	$3iu'_2$			
$ \gamma - C $	$(\mathbf{k}_H)_1 = -(1/2)\mathbf{b}_1 - (1/3)(2\mathbf{b}_2 - \mathbf{b}_3)$ $(\mathbf{k}_H)_2 = -(1/2)\mathbf{b}_1 + (1/3)(2\mathbf{b}_2 - \mathbf{b}_3)$	H_{eq}	4		1	1	0	0	$\sqrt{3}$	$-\sqrt{3}$	0			
Точки M Точкові групи $mmm(D_{2h})$ Проективні класи K_0														
mmm(D_{2h})				e	$(u_2)_1$	c_2	$(u'_2)_1$	i	$i(u_2)_1$	ic_2	$i(u'_2)_1$			
C_{L1}	$(\mathbf{k}_M)_1 = -(1/2)\mathbf{b}_2, (\mathbf{k}_M)_2 = (1/2)\mathbf{b}_1$ $(\mathbf{k}_M)_3 = -(1/2)(\mathbf{b}_1 - \mathbf{b}_2)$	M_{eq}	2		0	0	2	0	2	2	0			
$\gamma - C$	$(\mathbf{k}_M)_1 = -(1/2)\mathbf{b}_3, (\mathbf{k}_M)_2 = (1/2)\mathbf{b}_2$ $(\mathbf{k}_M)_3 = -(1/2)(\mathbf{b}_2 - \mathbf{b}_3)$	M_{eq}	4		0	0	4	0	4	4	0			
Точка L Точкова група $mmm(D_{2h})$ Проективний клас K_5														
mmm(D_{2h})				e	$(u_2)_1$	c_2	$(u'_2)_1$	i	$i(u_2)_1$	ic_2	$i(u'_2)_1$			
$ \gamma - C $	$(\mathbf{k}_L)_1 = -(1/2)(\mathbf{b}_1 + \mathbf{b}_3)$ $(\mathbf{k}_L)_2 = -(1/2)(\mathbf{b}_1 - \mathbf{b}_2)$ $(\mathbf{k}_L)_3 = -(1/2)(\mathbf{b}_1 + \mathbf{b}_2 - \mathbf{b}_3)$	L_{eq}	4		0	0	0	0	4	0	0			

Таблиця 12. Розподіли коливальних та електронних збуджень для π -зон у точках високої симетрії зон Бріллюена за незвідними проективними представленнями відповідних проективних класів для структур одношарового графену C_{L1} та кристалічного графіту $\gamma - C$

Одношаровий графен, C_{L1}	Кристал графіту, $\gamma - C$
Точки Γ	
Точкові групи $6/mmm(D_{6h})$	
Проективні класи K_0	
$\begin{aligned} \Gamma_{\text{vib}} &= \Gamma_2^+ + \Gamma_3^- + \Gamma_5^+ + \Gamma_6^- \\ \Gamma_{\text{ac}} &= \Gamma_3^- + \Gamma_6^- \\ \Gamma_{\text{opt}} &= \Gamma_2^+ + \Gamma_5^+ \\ \Gamma_\pi &= \Gamma_2^+ + \Gamma_3^- \end{aligned} \quad \begin{aligned} \Gamma_{\text{vib}} &= 2\Gamma_2^+ + 2\Gamma_3^- + 2\Gamma_5^+ + 2\Gamma_6^- \\ \Gamma_{\text{ac}} &= \Gamma_3^- + \Gamma_6^- \\ \Gamma_{\text{opt}} &= 2\Gamma_2^+ + \Gamma_3^- + 2\Gamma_5^+ + \Gamma_6^- \\ \Gamma_\pi &= 2\Gamma_2^+ + 2\Gamma_3^- \end{aligned}$	
Точки K	
Точкові групи $\bar{b}\bar{m}2(D_{3h})$	
Проективні класи K_0	
$\begin{aligned} K_{\text{vib}} &= K_1 + K_3 + K_5 + K_6 \\ K_\pi &= K_6 \end{aligned} \quad \begin{aligned} K_{\text{vib}} &= K_1 + K_2 + K_3 + \\ &\quad + K_4 + 3K_5 + K_6 \\ K_\pi &= K_2 + K_4 + K_6 \end{aligned}$	
Точки M	
Точкові групи $m\bar{m}(D_{2h})$	
Проективні класи K_0	
$\begin{aligned} M_{\text{vib}} &= M_1^+ + M_2^+ + M_2^- + \\ &\quad + M_3^+ + M_3^- + M_4^- \\ M_\pi &= M_2^+ + M_3^- \end{aligned} \quad \begin{aligned} M_{\text{vib}} &= 2M_1^+ + 2M_2^+ + 2M_2^- + \\ &\quad + 2M_3^+ + 2M_3^- + 2M_4^- \\ M_\pi &= 2M_2^+ + 2M_3^- \end{aligned}$	
Точка A	
Точкова група $6/mmm(D_{6h})$	
Проективний клас K_5	
$\begin{cases} A_{\text{vib}} = 2A_1^{(5)} + 2A_3^{(5)} \\ A_\pi = 2A_1^{(5)} \end{cases}$	
Точка H	
Точкова група $\bar{b}\bar{m}2(D_{3h})$	
Проективний клас K_1	
$\begin{cases} H_{\text{vib}} = 3H_1^{(1)} + H_2^{(1)} + 2H_3^{(1)} \\ H_\pi = H_1^{(1)} + H_3^{(1)} \end{cases}$	
Точка L	
Точкова група $m\bar{m}(D_{2h})$	
Проективний клас K_5	
$\begin{cases} L_{\text{vib}} = 4L_1^{(5)} + 2L_2^{(5)} \\ L_\pi = 2L_1^{(5)} \end{cases}$	

антністю до інверсії часу для структур, симетрія яких описується несімморфною просторовою групою $P6_3/mmc$, попарного злипання дисперсійних кривих всіх енергетичних станів у точці A (виводиться на основі аналогічного розгляду для структури вюрциту, наведеному в [6]). На рис. 5 зображенено

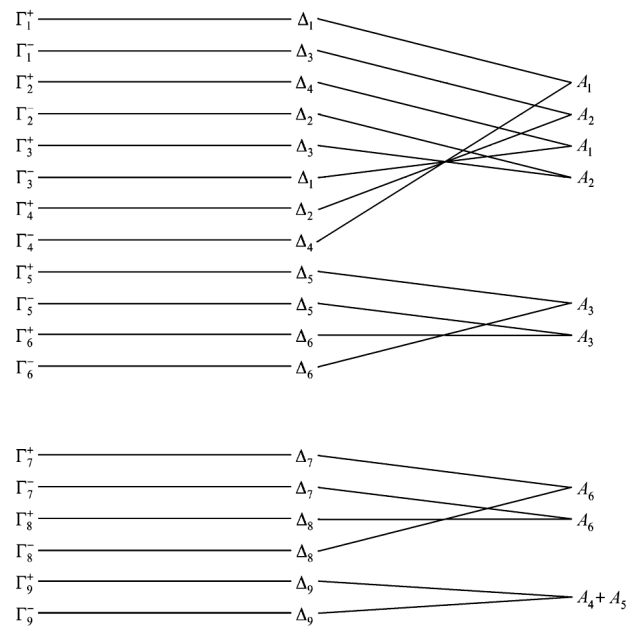


Рис. 5. Діаграма, що визначає сумісність незвідних проективних представлень групи $P6_3/mmc$ в зоні Бріллюена в напрямку $\Gamma - A$

Таблиця 13. Характери однозначних та двозначних незвідних проективних представлень точки Δ

Проективний клас	Позначення незвідного проективного представлення	6/mmm(D_{6h})							
		e	c_3	c_3^2	$3\sigma'_r$	c_2	c_6^5	c_6	$3\sigma_r$
K_0	Δ_1	1	1	1	η_k	η_k	η_k	η_k	1
	Δ_2	1	1	1	η_k	$-\eta_k$	$-\eta_k$	$-\eta_k$	$-\eta_k$
	Δ_3	1	1	1	$-\eta_k$	η_k	η_k	η_k	-1
	Δ_4	1	1	1	$-\eta_k$	$-\eta_k$	$-\eta_k$	$-\eta_k$	1
	Δ_5	2	-2	-1	0	$2\eta_k$	$-\eta_k$	$-\eta_k$	0
	Δ_6	2	-1	-1	0	$-2\eta_k$	η_k	η_k	0
K_1	Δ_7	2	1	-1	0	0	$\sqrt{3}\eta_k$	$-\sqrt{3}\eta_k$	0
	Δ_8	2	1	-1	0	0	$-\sqrt{3}\eta_k$	$\sqrt{3}\eta_k$	0
	Δ_9	2	-2	2	0	0	0	0	0

діаграму, за якою визначається сумісність незвідних проективних представлень групи $P6_3/mmc$ вздовж лінії $\Gamma - \Delta - A$ в зоні Бріллюена кристалічного графіту.

Точки K . Фактор-групи груп хвильових векторів за нескінченими інваріантними підгрупами

Таблиця 14. Фактор-системи $\omega_{1,H}(r_2, r_1)$ для точки H кристала

графіту (просторова група $P6_3/mmc(D_{6h}^4)$, точкова – $\bar{6}m2(D_{3h})$) (а), та стандартна фактор-система $\omega'_{1,H}(r_2, r_1)$, що відповідає її стандартному вигляду (б). У нижній частині табл. 14, а приведені значення функції $u_{1,H}(r)$, які приводять фактор-систему $\omega_{1,H}(r_2, r_1)$ до стандартного вигляду $\omega'_{1,H}(r_2, r_1) \equiv \omega'_{(1)}(r_2, r_1)$

$\omega_{1,H}(r_2, r_1)$	r_1	1	2	3	4	5	6	7	8	9	10	11	12
	r_2	e	c_3	c_3^2	$(u_2)_1$	$(u_2)_2$	$(u_2)_3$	ic_2	ic_6^5	ic_6	$i(u'_2)_1$	$i(u'_2)_2$	$i(u'_2)_3$
1	e	$1_{(1)}$	$1_{(2)}$	$1_{(3)}$	$1_{(4)}$	$1_{(5)}$	$1_{(6)}$	$1_{(7)}$	$1_{(8)}$	$1_{(9)}$	$1_{(10)}$	$1_{(11)}$	$1_{(12)}$
2	c_3	$1_{(2)}$	$1_{(3)}$	$1_{(1)}$	$1_{(6)}$	$1_{(4)}$	$1_{(5)}$	$1_{(8)}$	$1_{(9)}$	$1_{(7)}$	$1_{(12)}$	$1_{(10)}$	$1_{(11)}$
3	c_3^2	$1_{(3)}$	$1_{(1)}$	$1_{(2)}$	$1_{(5)}$	$1_{(6)}$	$1_{(4)}$	$1_{(9)}$	$1_{(7)}$	$1_{(8)}$	$1_{(11)}$	$1_{(12)}$	$1_{(10)}$
4	$(u_2)_1$	$1_{(4)}$	$1_{(5)}$	$1_{(6)}$	$1_{(1)}$	$1_{(2)}$	$1_{(3)}$	$-1_{(10)}$	$-1_{(11)}$	$-1_{(12)}$	$-1_{(7)}$	$-1_{(8)}$	$-1_{(9)}$
5	$(u_2)_2$	$1_{(5)}$	$1_{(6)}$	$1_{(4)}$	$1_{(3)}$	$1_{(1)}$	$1_{(2)}$	$-1_{(11)}$	$-1_{(12)}$	$-1_{(10)}$	$-1_{(9)}$	$-1_{(7)}$	$-1_{(8)}$
6	$(u_2)_3$	$1_{(6)}$	$1_{(4)}$	$1_{(5)}$	$1_{(2)}$	$1_{(3)}$	$1_{(1)}$	$-1_{(12)}$	$-1_{(10)}$	$-1_{(11)}$	$-1_{(8)}$	$-1_{(9)}$	$-1_{(7)}$
7	ic_2	$1_{(7)}$	$1_{(8)}$	$1_{(9)}$	$1_{(10)}$	$1_{(11)}$	$1_{(12)}$	$-1_{(1)}$	$-1_{(2)}$	$-1_{(3)}$	$-1_{(4)}$	$-1_{(5)}$	$-1_{(6)}$
8	ic_6^5	$1_{(8)}$	$1_{(9)}$	$1_{(7)}$	$1_{(12)}$	$1_{(10)}$	$1_{(11)}$	$-1_{(2)}$	$-1_{(3)}$	$-1_{(1)}$	$-1_{(6)}$	$-1_{(4)}$	$-1_{(5)}$
9	ic_6	$1_{(9)}$	$1_{(7)}$	$1_{(8)}$	$1_{(11)}$	$1_{(12)}$	$1_{(10)}$	$-1_{(3)}$	$-1_{(1)}$	$-1_{(2)}$	$-1_{(5)}$	$-1_{(6)}$	$-1_{(4)}$
10	$i(u'_2)_1$	$1_{(10)}$	$1_{(11)}$	$1_{(12)}$	$1_{(7)}$	$1_{(8)}$	$1_{(9)}$	$1_{(4)}$	$1_{(5)}$	$1_{(6)}$	$1_{(1)}$	$1_{(2)}$	$1_{(3)}$
11	$i(u'_2)_2$	$1_{(11)}$	$1_{(12)}$	$1_{(10)}$	$1_{(9)}$	$1_{(7)}$	$1_{(8)}$	$1_{(5)}$	$1_{(6)}$	$1_{(4)}$	$1_{(3)}$	$1_{(1)}$	$1_{(2)}$
12	$i(u'_2)_3$	$1_{(12)}$	$1_{(10)}$	$1_{(11)}$	$1_{(8)}$	$1_{(9)}$	$1_{(7)}$	$1_{(6)}$	$1_{(4)}$	$1_{(5)}$	$1_{(2)}$	$1_{(3)}$	$1_{(1)}$
	$u_{1,H}(r)$	1	1	1	1	1	1	i	i	i	i	i	i

а

$\omega'_{1,H}(r_2, r_1) =$	r_1	a						b						
	r_2	1	2	3	4	5	6	7	8	9	10	11	12	
		e	c_3	c_3^2	$(u_2)_1$	$(u_2)_2$	$(u_2)_3$	ic_2	ic_6^5	ic_6	$i(u'_2)_1$	$i(u'_2)_2$	$i(u'_2)_3$	
a_1	1	e	$1_{(1)}$	$1_{(2)}$	$1_{(3)}$	$1_{(4)}$	$1_{(5)}$	$1_{(6)}$	$1_{(7)}$	$1_{(8)}$	$1_{(9)}$	$1_{(10)}$	$1_{(11)}$	$1_{(12)}$
	2	c_3	$1_{(2)}$	$1_{(3)}$	$1_{(1)}$	$1_{(6)}$	$1_{(4)}$	$1_{(5)}$	$1_{(8)}$	$1_{(9)}$	$1_{(7)}$	$1_{(12)}$	$1_{(10)}$	$1_{(11)}$
	3	c_3^2	$1_{(3)}$	$1_{(1)}$	$1_{(2)}$	$1_{(5)}$	$1_{(6)}$	$1_{(4)}$	$1_{(9)}$	$1_{(7)}$	$1_{(8)}$	$1_{(11)}$	$1_{(12)}$	$1_{(10)}$
a_2	4	$(u_2)_1$	$1_{(4)}$	$1_{(5)}$	$1_{(6)}$	$1_{(1)}$	$1_{(2)}$	$1_{(3)}$	$-1_{(10)}$	$-1_{(11)}$	$-1_{(12)}$	$-1_{(7)}$	$-1_{(8)}$	$-1_{(9)}$
	5	$(u_2)_2$	$1_{(5)}$	$1_{(6)}$	$1_{(4)}$	$1_{(3)}$	$1_{(1)}$	$1_{(2)}$	$-1_{(11)}$	$-1_{(12)}$	$-1_{(10)}$	$-1_{(9)}$	$-1_{(7)}$	$-1_{(8)}$
	6	$(u_2)_3$	$1_{(6)}$	$1_{(4)}$	$1_{(5)}$	$1_{(2)}$	$1_{(3)}$	$1_{(1)}$	$-1_{(12)}$	$-1_{(10)}$	$-1_{(11)}$	$-1_{(8)}$	$-1_{(9)}$	$-1_{(7)}$
b_1	7	ic_2	$1_{(7)}$	$1_{(8)}$	$1_{(9)}$	$1_{(10)}$	$1_{(11)}$	$1_{(12)}$	$1_{(1)}$	$1_{(2)}$	$1_{(3)}$	$1_{(4)}$	$1_{(5)}$	$1_{(6)}$
	8	ic_6^5	$1_{(8)}$	$1_{(9)}$	$1_{(7)}$	$1_{(12)}$	$1_{(10)}$	$1_{(11)}$	$1_{(2)}$	$1_{(3)}$	$1_{(1)}$	$1_{(6)}$	$1_{(4)}$	$1_{(5)}$
	9	ic_6	$1_{(9)}$	$1_{(7)}$	$1_{(8)}$	$1_{(11)}$	$1_{(12)}$	$1_{(10)}$	$1_{(3)}$	$1_{(1)}$	$1_{(2)}$	$1_{(5)}$	$1_{(6)}$	$1_{(4)}$
b_2	10	$i(u'_2)_1$	$1_{(10)}$	$1_{(11)}$	$1_{(12)}$	$1_{(7)}$	$1_{(8)}$	$1_{(9)}$	$-1_{(4)}$	$-1_{(5)}$	$-1_{(6)}$	$-1_{(1)}$	$-1_{(2)}$	$-1_{(3)}$
	11	$i(u'_2)_2$	$1_{(11)}$	$1_{(12)}$	$1_{(10)}$	$1_{(9)}$	$1_{(7)}$	$1_{(8)}$	$-1_{(5)}$	$-1_{(6)}$	$-1_{(4)}$	$-1_{(3)}$	$-1_{(1)}$	$-1_{(2)}$
	12	$i(u'_2)_3$	$1_{(12)}$	$1_{(10)}$	$1_{(11)}$	$1_{(8)}$	$1_{(9)}$	$1_{(7)}$	$-1_{(6)}$	$-1_{(4)}$	$-1_{(5)}$	$-1_{(2)}$	$-1_{(3)}$	$-1_{(1)}$

б

трансляцій в точках K структур одношарового графену C_{L1} і кристалічного графіту $\gamma - C$ ізоморфні точкові групі $\bar{6}m2(D_{3h})$, яка є точковою групою симетрії еквівалентних напрямків. Зірки груп хвильового вектора в точках K для обох

структур містять по два вектори: для одношарового графену C_{L1} $(\mathbf{k}_K)_1 = -(1/3)(2\mathbf{b}_1 - \mathbf{b}_2)$ і $(\mathbf{k}_K)_2 = (1/3)(2\mathbf{b}_1 - \mathbf{b}_2)$, а для кристалічного графіту $\gamma - C$ $(\mathbf{k}_K)_1 = -(1/3)(2\mathbf{b}_2 - \mathbf{b}_3)$ і $(\mathbf{k}_K)_2 = (1/3)(2\mathbf{b}_2 - \mathbf{b}_3)$. Характери проективних пред-

Таблиця 15. Фактор-система $\omega_2(r_2, r_1)$ для групи $\bar{6}m2(D_{3h})$ (а) та стандартна фактор-система $\omega'_2(r_2, r_1)$, що відповідає її стандартному вигляду (б). У нижній частині табл. 15, а приведені значення функції $u_2(r)$, які приводять фактор-систему $\omega_2(r_2, r_1)$ до стандартного вигляду $\omega'_2(r_2, r_1) \equiv \omega'_{(1)}(r_2, r_1)$

$\omega_2(r_2, r_1)$	r_1	1	2	3	4	5	6	7	8	9	10	11	12
	r_2	e	c_3	c_3^2	$(u_2)_1$	$(u_2)_2$	$(u_2)_3$	ic_2	ic_6^5	ic_6	$i(u'_2)_1$	$i(u'_2)_2$	$i(u'_2)_3$
1	e	$1_{(1)}$	$1_{(2)}$	$1_{(3)}$	$1_{(4)}$	$1_{(5)}$	$1_{(6)}$	$1_{(7)}$	$1_{(8)}$	$1_{(9)}$	$1_{(10)}$	$1_{(11)}$	$1_{(12)}$
2	c_3	$1_{(2)}$	$1_{(3)}$	$-1_{(1)}$	$-1_{(6)}$	$-1_{(4)}$	$-1_{(5)}$	$1_{(8)}$	$-1_{(9)}$	$1_{(7)}$	$-1_{(12)}$	$-1_{(10)}$	$-1_{(11)}$
3	c_3^2	$1_{(3)}$	$-1_{(1)}$	$-1_{(2)}$	$1_{(5)}$	$1_{(6)}$	$1_{(4)}$	$-1_{(9)}$	$-1_{(7)}$	$1_{(8)}$	$1_{(11)}$	$1_{(12)}$	$1_{(10)}$
4	$(u_2)_1$	$1_{(4)}$	$-1_{(5)}$	$1_{(6)}$	$-1_{(1)}$	$1_{(2)}$	$-1_{(3)}$	$-1_{(10)}$	$1_{(11)}$	$1_{(12)}$	$1_{(7)}$	$-1_{(8)}$	$-1_{(9)}$
5	$(u_2)_2$	$1_{(5)}$	$-1_{(6)}$	$1_{(4)}$	$-1_{(3)}$	$-1_{(1)}$	$1_{(2)}$	$-1_{(11)}$	$1_{(12)}$	$1_{(10)}$	$-1_{(9)}$	$1_{(7)}$	$-1_{(8)}$
6	$(u_2)_3$	$1_{(6)}$	$-1_{(4)}$	$1_{(5)}$	$1_{(2)}$	$-1_{(3)}$	$-1_{(1)}$	$-1_{(12)}$	$1_{(10)}$	$1_{(11)}$	$-1_{(8)}$	$-1_{(9)}$	$1_{(7)}$
7	ic_2	$1_{(7)}$	$1_{(8)}$	$-1_{(9)}$	$1_{(10)}$	$1_{(11)}$	$1_{(12)}$	$-1_{(1)}$	$-1_{(2)}$	$1_{(3)}$	$-1_{(4)}$	$-1_{(5)}$	$-1_{(6)}$
8	ic_6^5	$1_{(8)}$	$-1_{(9)}$	$-1_{(7)}$	$-1_{(12)}$	$-1_{(10)}$	$-1_{(11)}$	$-1_{(2)}$	$-1_{(3)}$	$-1_{(1)}$	$1_{(6)}$	$1_{(4)}$	$1_{(5)}$
9	ic_6	$1_{(9)}$	$1_{(7)}$	$1_{(8)}$	$-1_{(11)}$	$-1_{(12)}$	$-1_{(10)}$	$1_{(3)}$	$-1_{(1)}$	$1_{(2)}$	$1_{(5)}$	$1_{(6)}$	$1_{(4)}$
10	$i(u'_2)_1$	$1_{(10)}$	$-1_{(11)}$	$1_{(12)}$	$-1_{(7)}$	$1_{(8)}$	$1_{(9)}$	$1_{(4)}$	$-1_{(5)}$	$-1_{(6)}$	$-1_{(1)}$	$1_{(2)}$	$-1_{(3)}$
11	$i(u'_2)_2$	$1_{(11)}$	$-1_{(12)}$	$1_{(10)}$	$1_{(9)}$	$-1_{(7)}$	$1_{(8)}$	$1_{(5)}$	$-1_{(6)}$	$-1_{(4)}$	$-1_{(3)}$	$-1_{(1)}$	$1_{(2)}$
12	$i(u'_2)_3$	$1_{(12)}$	$-1_{(10)}$	$1_{(11)}$	$1_{(8)}$	$1_{(9)}$	$-1_{(7)}$	$1_{(6)}$	$-1_{(4)}$	$-1_{(5)}$	$1_{(2)}$	$-1_{(3)}$	$-1_{(1)}$
$u_2(r)$		1	-1	1	i	i	i	i	$-i$	$-i$	-1	-1	-1

a

$\omega'_2(r_2, r_1) =$	r_1	a						b						
	r_2	1	2	3	4	5	6	7	8	9	10	11	12	
		e	c_3	c_3^2	$(u_2)_1$	$(u_2)_2$	$(u_2)_3$	ic_2	ic_6^5	ic_6	$i(u'_2)_1$	$i(u'_2)_2$	$i(u'_2)_3$	
a_1	1	e	$1_{(1)}$	$1_{(2)}$	$1_{(3)}$	$1_{(4)}$	$1_{(5)}$	$1_{(6)}$	$1_{(7)}$	$1_{(8)}$	$1_{(9)}$	$1_{(10)}$	$1_{(11)}$	$1_{(12)}$
	2	c_3	$1_{(2)}$	$1_{(3)}$	$1_{(1)}$	$1_{(6)}$	$1_{(4)}$	$1_{(5)}$	$1_{(8)}$	$1_{(9)}$	$1_{(7)}$	$1_{(12)}$	$1_{(10)}$	$1_{(11)}$
	3	c_3^2	$1_{(3)}$	$1_{(1)}$	$1_{(2)}$	$1_{(5)}$	$1_{(6)}$	$1_{(4)}$	$1_{(9)}$	$1_{(7)}$	$1_{(8)}$	$1_{(11)}$	$1_{(12)}$	$1_{(10)}$
a_2	4	$(u_2)_1$	$1_{(4)}$	$1_{(5)}$	$1_{(6)}$	$1_{(1)}$	$1_{(2)}$	$1_{(3)}$	$-1_{(10)}$	$-1_{(11)}$	$-1_{(12)}$	$-1_{(7)}$	$-1_{(8)}$	$-1_{(9)}$
	5	$(u_2)_2$	$1_{(5)}$	$1_{(6)}$	$1_{(4)}$	$1_{(3)}$	$1_{(1)}$	$1_{(2)}$	$-1_{(11)}$	$-1_{(12)}$	$-1_{(10)}$	$-1_{(9)}$	$-1_{(7)}$	$-1_{(8)}$
	6	$(u_2)_3$	$1_{(6)}$	$1_{(4)}$	$1_{(5)}$	$1_{(2)}$	$1_{(3)}$	$1_{(1)}$	$-1_{(12)}$	$-1_{(10)}$	$-1_{(11)}$	$-1_{(8)}$	$-1_{(9)}$	$-1_{(7)}$
b_1	7	ic_2	$1_{(7)}$	$1_{(8)}$	$1_{(9)}$	$1_{(10)}$	$1_{(11)}$	$1_{(12)}$	$1_{(1)}$	$1_{(2)}$	$1_{(3)}$	$1_{(4)}$	$1_{(5)}$	$1_{(6)}$
	8	ic_6^5	$1_{(8)}$	$1_{(9)}$	$1_{(7)}$	$1_{(12)}$	$1_{(10)}$	$1_{(11)}$	$1_{(2)}$	$1_{(3)}$	$1_{(1)}$	$1_{(6)}$	$1_{(4)}$	$1_{(5)}$
	9	ic_6	$1_{(9)}$	$1_{(7)}$	$1_{(8)}$	$1_{(11)}$	$1_{(12)}$	$1_{(10)}$	$1_{(3)}$	$1_{(1)}$	$1_{(2)}$	$1_{(5)}$	$1_{(6)}$	$1_{(4)}$
b_2	10	$i(u'_2)_1$	$1_{(10)}$	$1_{(11)}$	$1_{(12)}$	$1_{(7)}$	$1_{(8)}$	$1_{(9)}$	$-1_{(4)}$	$-1_{(5)}$	$-1_{(6)}$	$-1_{(1)}$	$-1_{(2)}$	$-1_{(3)}$
	11	$i(u'_2)_2$	$1_{(11)}$	$1_{(12)}$	$1_{(10)}$	$1_{(9)}$	$1_{(7)}$	$1_{(8)}$	$-1_{(5)}$	$-1_{(6)}$	$-1_{(4)}$	$-1_{(3)}$	$-1_{(1)}$	$-1_{(2)}$
	12	$i(u'_2)_3$	$1_{(12)}$	$1_{(10)}$	$1_{(11)}$	$1_{(8)}$	$1_{(9)}$	$1_{(7)}$	$-1_{(6)}$	$-1_{(4)}$	$-1_{(5)}$	$-1_{(2)}$	$-1_{(3)}$	$-1_{(1)}$

b

ствальень K_{eq} , які для обох структур належать класу K_0 , наведені в табл. 11, а розподіли K_{vibr} і K_π за незвідними представленнями групи $\bar{6}m2(D_{3h})$ – в табл. 12.

Точка H. Фактор-група групи хвильового вектора за нескінченною інваріантною підгрупою транс-

ляцій в точці H структури графіту $\gamma - C$ також ізоморфна точковій групі $\bar{6}m2(D_{3h})$. Зірка групи хвильового вектора містить два вектори: $(\mathbf{k}_H)_1 = -(1/2)\mathbf{b}_1 - (1/3)(2\mathbf{b}_2 - \mathbf{b}_3)$ і $(\mathbf{k}_H)_2 = -(1/2)\mathbf{b}_1 + (1/3)(2\mathbf{b}_2 - \mathbf{b}_3)$. В табл. 14, а наведено фактор-систему $\omega_{1,H}(r_2, r_1)$, розраховану за формулою (8),

Таблиця 16. Характери незвідних проективних представлень групи $\bar{6}m2(D_{3h})$:
однозначних представлень, відповідаючих стандартній фактор-системі (a), двозначних спінорних представлень (б) і однозначних представлень, які описують симетрію коливальних і електронних збуджень без врахування спіну в точці H для просторової групи симетрії (групи хвильового вектора точки H), що є підгрупою просторової групи симетрії $P6_3/mmc(D_{6h})$ (в). Штрихи над літерами Г в символах незвідних проективних представлень означають, що ці представлення є двозначними спінорними

$\bar{6}m2(D_{3h})$			e	c_3	c_3^2	$3iu_2$	ic_2	ic_6^5	ic_6	$3iu'_2$
K_1	<i>a</i>	$P_1^{(1)}$	2	-1	-1	0	0	$\sqrt{3}i$	$-\sqrt{3}i$	0
		$P_2^{(1)}$	2	-1	-1	0	0	$-\sqrt{3}i$	$\sqrt{3}i$	0
		$P_3^{(1)}$	2	2	2	0	0	0	0	0
	<i>b</i>	$(\Gamma')_1^{(1)} = \Gamma_7 E'_1$	2	1	-1	0	0	$\sqrt{3}$	$-\sqrt{3}$	0
		$(\Gamma')_2^{(1)} = \Gamma_8 E'_2$	2	1	-1	0	0	$-\sqrt{3}$	$\sqrt{3}$	0
		$(\Gamma')_3^{(1)} = \Gamma_9 E'_3$	2	-2	2	0	0	0	0	0
		$u_2(r)$	1	-1	1	i	i	$-i$	$-i$	-1
	<i>v</i>	$H_1^{(1)}$	2	-1	-1	0	0	$-\sqrt{3}$	$\sqrt{3}$	0
		$H_2^{(1)}$	2	-1	-1	0	0	$\sqrt{3}$	$-\sqrt{3}$	0
		$H_3^{(1)}$	2	2	2	0	0	0	0	0
		$u_{1,H}(r)$	1	1	1	1	i	i	i	i

яка за допомогою значень функції на групі $u_{1,H}(r)$, що вказані в нижній частині табл. 14, *a*, зводиться до стандартного вигляду $\omega'_{1,H}(r_2, r_1)$, який представлено в табл. 14, *b*. Легко бачити, що фактор-системи $\omega_{1,H}(r_2, r_1)$ і $\omega'_{1,H}(r_2, r_1)$ за значеннями коефіцієнтів α , β і γ , які безпосередньо знаходяться з самих фактор-систем, належать до проективного класу K_1 , тобто $\omega'_{1,H}(r_2, r_1) \equiv \omega'_{(1)}(r_2, r_1)$.

Стандартну фактор-систему проективного класу K_1 – фактор-систему $\omega'_{(1)}(r_2, r_1)$ можна було б отримати також не з фактор-системи $\omega'_{1,H}(r_2, r_1)$, що описує симетрійні властивості просторової групи симетрії кристалічного графіту $P6_3/mmc(D_{6h}^4)$, а з фактор-системи $\omega_2(r_2, r_1)$, яка визначається перетвореннями спінорів при дії елементів симетрії точкової групи $\bar{6}m2(D_{3h})$, що є групою симетрії еквівалентних напрямків в групі хвильового вектора точки H зони Бріллюена графіту. В табл. 15, *a* наведена фактор-система $\omega_2(r_2, r_1)$ для точкової групи симетрії $\bar{6}m2(D_{3h})$, що одержана за формулою (12) і, як легко бачити, належить проективному класу K_1 . Нижніми індексами біля значень коефіцієнтів фактор-системи $\omega_2(r_2, r_1)$ в табл. 15, *a*, що містять цифри у круглих дужках, представлено, як і вище за текстом, таблицю множення елементів тепер вже групи $\bar{6}m2$ (числами у дужках вказані цифрові позначення елементів

для групи $\bar{6}m2$, які відповідають добуткам $r_2 r_1$). В табл. 15, *b* наведена стандартна фактор-система $\omega'_2(r_2, r_1)$, яку одержано при перетворенні за формулою (5) фактор-системи $\omega_2(r_2, r_1)$, за допомогою значень функції $u_2(r)$, які приведені в нижній частині табл. 15, *a*.

Суттєво, що значення коефіцієнтів $u_2(r)$ для елементів, які входять як в групу $\bar{6}m2$, так і в групу $6/mmm$, виявились однаковими. Як і можна було очікувати, стандартні фактор-системи $\omega'_{1,H}(r_2, r_1)$ і $\omega'_2(r_2, r_1)$, які належать одному й тому самому проективному класу K_1 , також співпадали, тобто, дійсно, має місце рівність $\omega'_{1,H}(r_2, r_1) = \omega'_2(r_2, r_1) = \omega'_{(1)}(r_2, r_1)$.

Характери різних *p*-еквівалентних форм незвідних проективних представлень групи $\bar{6}m2(D_{3h})$, які належать проективному класу K_1 , наведено в табл. 16: незвідних однозначних проективних представлень, що відповідають стандартній фактор-системі $\omega'_{(1)}(r_2, r_1)$ (табл. 16, *a*), незвідних проективних двозначних спінорних представлень (табл. 16, *b*) і незвідних проективних однозначних представлень, що описують симетрію коливальних і електронних збуджень без врахування спіну в точці H для просторової групи симетрії або групи хвильового вектора точки H , що є підгрупою просторової групи симетрії $P6_3/mmc(D_{6h}^4)$,

Таблиця 17. Фактор-системи $\omega_{1,L}(r_2, r_1)$ для точки L зони Бріллюена кристалічного графіту (просторова група $P6_3/mmc(D_{6h}^4)$, точкова – $mmm(D_{2h})$) (а), та стандартна фактор-система $\omega'_{1,L}(r_2, r_1)$, що відповідає її стандартному вигляду (б). У нижній частині табл. 17, а приведені значення функції $u_{1,L}(r)$, які приводять фактор-систему $\omega_{1,L}(r_2, r_1)$ до стандартного вигляду $\omega'_{1,L}(r_2, r_1) = \omega'_{(5)}(r_2, r_1)$

$\omega_{1,L}(r_2, r_1)$	r_1	1	2	3	4	5	6	7	8
	r_2	e	$(u_2)_1$	c_2	$(u'_2)_1$	i	$i(u_2)_1$	ic_2	$i(u'_2)_1$
1	e	$1_{(1)}$	$1_{(2)}$	$1_{(3)}$	$1_{(4)}$	$1_{(5)}$	$1_{(6)}$	$1_{(7)}$	$1_{(8)}$
2	$(u_2)_1$	$1_{(2)}$	$1_{(1)}$	$-1_{(4)}$	$-1_{(3)}$	$1_{(6)}$	$1_{(5)}$	$-1_{(8)}$	$-1_{(7)}$
3	c_2	$1_{(3)}$	$1_{(4)}$	$1_{(1)}$	$1_{(2)}$	$1_{(7)}$	$1_{(8)}$	$1_{(5)}$	$1_{(6)}$
4	$(u'_2)_1$	$1_{(4)}$	$1_{(3)}$	$-1_{(2)}$	$-1_{(1)}$	$1_{(8)}$	$1_{(7)}$	$-1_{(6)}$	$-1_{(5)}$
5	i	$1_{(5)}$	$1_{(6)}$	$-1_{(7)}$	$-1_{(8)}$	$1_{(1)}$	$1_{(2)}$	$-1_{(3)}$	$-1_{(4)}$
6	$i(u_2)_1$	$1_{(6)}$	$1_{(5)}$	$1_{(8)}$	$1_{(7)}$	$1_{(2)}$	$1_{(1)}$	$1_{(4)}$	$1_{(3)}$
7	ic_2	$1_{(7)}$	$1_{(8)}$	$-1_{(5)}$	$-1_{(6)}$	$1_{(3)}$	$1_{(4)}$	$-1_{(1)}$	$-1_{(2)}$
8	$i(u'_2)_1$	$1_{(8)}$	$1_{(7)}$	$1_{(6)}$	$1_{(5)}$	$1_{(4)}$	$1_{(3)}$	$1_{(2)}$	$1_{(1)}$
$u_{1,L}(r)$		1	1	1	1	1	1	-1	-1

a

$\omega'_{1,L}(r_2, r_1) =$	r_1	a	b	c	d				
	r_2	1	2	3	4	5	6	7	8
a	a_1	1	e	$1_{(1)}$	$1_{(2)}$	$1_{(3)}$	$1_{(4)}$	$1_{(5)}$	$1_{(6)}$
a	a_2	2	$(u_2)_1$	$1_{(2)}$	$1_{(1)}$	$-1_{(4)}$	$-1_{(3)}$	$1_{(6)}$	$1_{(5)}$
b	b_1	3	c_2	$1_{(3)}$	$1_{(4)}$	$1_{(1)}$	$1_{(2)}$	$-1_{(7)}$	$-1_{(8)}$
b	b_2	4	$(u'_2)_1$	$1_{(4)}$	$1_{(3)}$	$-1_{(2)}$	$-1_{(1)}$	$-1_{(8)}$	$-1_{(7)}$
c	c_1	5	i	$1_{(5)}$	$1_{(6)}$	$1_{(7)}$	$1_{(8)}$	$1_{(1)}$	$1_{(2)}$
c	c_2	6	$i(u_2)_1$	$1_{(6)}$	$1_{(5)}$	$-1_{(8)}$	$-1_{(7)}$	$1_{(2)}$	$1_{(1)}$
d	d_1	7	ic_2	$1_{(7)}$	$1_{(8)}$	$1_{(5)}$	$1_{(6)}$	$-1_{(3)}$	$-1_{(4)}$
d	d_2	8	$i(u'_2)_1$	$1_{(8)}$	$1_{(7)}$	$-1_{(6)}$	$-1_{(5)}$	$-1_{(4)}$	$-1_{(3)}$

б

(табл. 16, б). Слід зазначити, що представлення в точці H для просторової групи симетрії $P6_3/mmc$, при знаходженні яких не враховується спін квантового збудження, кардинально відрізняються від двозначних спінорних представлень (табл. 16, б), але є їм, як і проективним представленням, відповідаючим стандартній фактор-системі проективного класу K_1 (табл. 16, а), проективно еквівалентними (p -еквівалентними). При цьому “носіями” двозначності представлень є набори коефіцієнтів, що визначаються функціями $u_2(r)$, тобто, такими

наборами коефіцієнтів зведення фактор-систем до стандартних виглядів, які відповідають значенням параметра α , рівним -1 .

Точки M. Фактор-групи груп хвильових векторів за нескінченими інваріантними підгрупами трансляцій в точках M структур одношарового графену і кристалічного графіту ізоморфні точковій групі $mmm(D_{2h})$, яка для точок M є точковою групою симетрії еквівалентних напрямків. Зірки груп хвильових векторів в точках M для обох структур містять по три вектори: для одношарового

графену C_{L1} (\mathbf{k}_M)₁ = $-(1/2)\mathbf{b}_2$, (\mathbf{k}_M)₂ = $(1/2)\mathbf{b}_1$ і (\mathbf{k}_M)₃ = $-(1/2)(\mathbf{b}_1 - \mathbf{b}_2)$, а для кристалічного графіту $\gamma - C$ (\mathbf{k}_M)₁ = $-(1/2)\mathbf{b}_3$, (\mathbf{k}_M)₂ = $(1/2)\mathbf{b}_2$ і (\mathbf{k}_M)₃ = $-(1/2)(\mathbf{b}_2 - \mathbf{b}_3)$. Характери проективних представлень M_{eq} , які для обох структур належать класу K_0 , наведені в табл. 11, а розподілі M_{vibr} і M_π за незвідними представленнями групи $tmm(D_{2h})$ – в табл. 12. Побудова характерів незвідних представлень групи $tmm(D_{2h})$ не викликає жодних труднощів, якщо дотримуватися послідовності запису елементів симетрії підгрупи tmm такій, в якій вони записані в групі $6/tmm$, і після кожного парного до інверсії представлення випи-сувати відповідне непарне.

Точка L . Фактор-група групи хвильового вектора за інваріантною підгрупою трансляцій в точці L кристалічного графіту також ізоморфна точковій групі $tmm(D_{2h})$. Зірка хвильового вектора точки L для структури графіту $\gamma - C$ також містить три вектори (\mathbf{k}_L)₁ = $-(1/2)(\mathbf{b}_1 + \mathbf{b}_3)$, (\mathbf{k}_L)₂ = $= -(1/2)(\mathbf{b}_1 - \mathbf{b}_2)$ і (\mathbf{k}_L)₃ = $-(1/2)(\mathbf{b}_1 + \mathbf{b}_2 - \mathbf{b}_3)$. В табл. 17, а наведено фактор-систему $\omega_{1,L}(r_2, r_1)$, розраховану за формулою (8), яка за допомогою значень функції на групі $u_{1,L}(r)$, що вказані в нижній частині табл. 17, а, зводиться до стандартного вигляду $\omega'_{1,L}(r_2, r_1)$, який наведено в табл. 17, б. Фактор-системи $\omega_{1,L}(r_2, r_1)$ і $\omega'_{1,L}(r_2, r_1)$ за значеннями коефіцієнтів α , β і γ , які визначаються з самих фактор-систем, належать до проективного класу K_5 , тобто $\omega'_{1,L}(r_2, r_1) \equiv \omega'_{(5)}(r_2, r_1)$. Характери незвідних проективних представлень для точки L легко отримати, знаючи значення функції $u_{1,L}(r)$ і наведені в табл. 8 [6] характеристи незвідних проективних представлень класу K_5 , що відповідають стандартні фактор-системі класу K_5 . Незвідні проективні представлення для точки L легко визначити з табл. 9. Характер проективного представлення еквівалентності в точці L – представлення L_{eq} наведено в табл. 11, а розподіл представлень L_{vibr} і L_π за незвідними проективними представленнями класу K_5 групи tmm – в табл. 12.

На рис. 6 схематично зображене дисперсію енергетичних електронних π -зон кристалів графіту (буквами позначені точки зони Бріллюена, а буквами з індексами – незвідні проективні представлення відповідних проективних класів). Схематичне зображення дисперсії електронних π -зон на рис. 6 представлено для всіх точок високої симетрії в зоні Бріллюена кристалів графіту. Воно добре

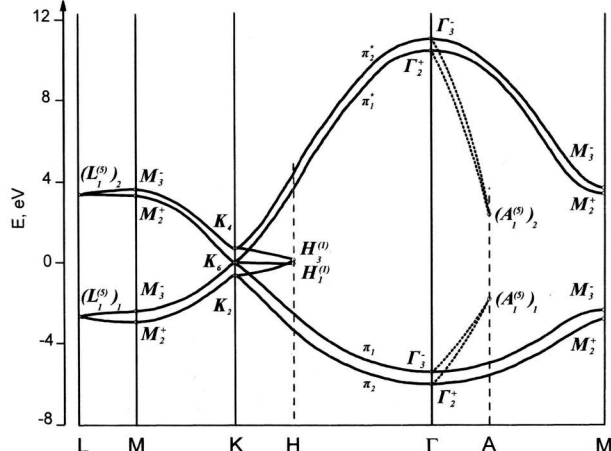


Рис. 6. Дисперсія енергетичних електронних π -зон кристалів графіту (буквами позначені точки зони Бріллюена, а буквами з індексами – незвідні проективні представлення відповідних проективних класів)

якісно узгоджується з чисельними розрахунками в роботах [14, 15], але, на відміну від них, включає також якісну поведінку дисперсії електронних зон вздовж лінії високої симетрії $\Gamma - \Delta - A$. Крім того, символічні позначення представлень при наведенні вперше в даній роботі класифікації енергетичних станів за незвідними проективними представленнями визначених проективних класів для різних точок зони Бріллюена представляють точні значення характерів, а, відтак, і матриць незвідних проективних представлень, що точно описують симетрію коливальних і електронних збуджень.

9. Висновки

По роботі можна зробити такі висновки:

1. Вперше для точкових груп симетрії винайдено методику побудови коректних таблиць множення спінорів – хвильових функцій квантових станів з напівцілим спіном, тобто, фактично, методику обчислення фактор-систем проективного класу K_1 та розроблено процедуру їх зведення до стандартного вигляду.

2. Вперше побудовані стандартні фактор-системи і відповідні їм характеристи незвідних представлень для всіх проективних класів гексагональної групи симетрії $6/tmm(D_{6h})$ та її підгруп.

3. Вперше ідентифіковані класи проективних представлень для різних точок зони Бріллюена кристалічного графіту. Для кожної з них побудо-

вані характеристи незвідних проективних представлень, знайдено симетрійний розподіл за незвідними проективними представленнями коливальних збуджень та електронних станів, що визначаються структурою π -зон.

4. Вперше з урахуванням змін проективних класів для різних точок зони Бріллюена надано симетрійний теоретико-груповий опис дисперсії коливальних і електронних збуджень кристалічного графіту та представлено їх кореляції з коливальними та електронними збудженнями одношарового графену.

1. О.В. Ковалев. *Неприводимые представления пространственных групп* (Изд. АН УССР, 1961).
2. О.В. Ковалев. *Неприводимые и индуцированные представления и конределставления федоровских групп. Справочное руководство* (Наука, Гл. ред. физ.-мат. лит., 1986).
3. J.D. Bernal. The Structure of Graphite. *Proc. Roy. Soc. London A* **106** (740), 749 (1924).
4. C. Herring. Effect on Time-Reversal Symmetry on Energy Band of Crystals. *Phys. Rev.* **52** (4), 361 (1937).
5. E.A. Wood. The 80 Diperiodic Groups in Three Dimensions. *Bell System Tech. J.* **43** (1), 541 (1964).
6. Г.Л. Бир, Г.Е. Пикус. *Симметрия и деформационные эффекты в полупроводниках* (Наука, Гл. ред. физ.-мат. лит., 1972).
7. H.A. Bethe. Termaufspaltung in Kristallen. *Ann. Physik* **395** (2), 133 (1929).
8. V.O. Gubanov, L.N. Ovander. Development of the Bethe method for the construction of two-valued space group representations and two-valued projective representations of point groups. *Ukr. J. Phys.* **60** (9) 950 (2015).
9. Е. Вигнер. *Теория групп и ее приложения к квантовомеханической теории атомных спектров* (Изд. иностр. лит., 1961).
10. Д.С. Бальчук, М.М. Білій, В.П. Грищук, В.О. Губанов, В.К. Кононов. Симетрія коливальних мод, інваріантність енергетичних станів до інверсії часу і комбінаційне розсіяння світла в кристалах 4Н- та 6Н-SiC. 1. Класифікація енергетичних станів у зонах Бріллюена. *Укр. фіз. журн.* **41** (2), 146 (1996).
11. Т.Л. Ботте, В.А. Губанов, Л.А. Комарова, Н.М. Белый, С.В. Ковригин, И.А. Петруша, А.А. Шульженко. Корреляция колебательных мод и дисперсия фононных возбуждений в слоистых кристаллах графита и графитоподобного нитрида бора. 1. Классификация и корреляция фононных состояний с нулевым квазимпульсом.

Наносистеми, наноматеріали, нанотехнології. *Збірник наукових праць* **5** (2), 287 (2007).

12. В.А. Губанов, Л.А. Комарова, Н.М. Белый, С.В. Ковригин. Корреляция колебательных мод и дисперсия фононных возбуждений в слоистых кристаллах графита и графитоподобного нитрида бора. 2. Дисперсия фононных состояний с ненулевым квазимпульсом и ширина фононных зон. Наносистеми, наноматеріали, нанотехнології. *Збірник наукових праць* **5** (2), 307 (2007).
13. M.S. Dresselhaus, G. Dresselhaus, A. Jorio. *Group Theory. Application to the Physics of Condensed Matter* (Springer-Verlag, 2008).
14. E. Doni, G. Pastori Parravicini. Energy Bands and Optical Properties of Hexagonal Boron Nitride and Graphite. *Nuovo Cimento B* **64** (1), 117 (1969).
15. Ф. Бассани, Дж. Пастори Парравичини. *Электронные состояния и оптические переходы в твердых телах* (Наука, Гл. ред. физ.-мат. лит., 1982).

Одержано 29.01.18

V.O. Gubanov, A.P. Naumenko,
M.M. Biliy, I.S. Dotzenko, O.M. Navozenko,
M.M. Sabov, L.A. Bulavin

ENERGY SPECTRA CORRELATION OF VIBRATIONAL AND ELECTRONIC EXCITATIONS AND THEIR DISPERSION IN GRAPHITE AND GRAPHENE

S u m m a r y

The correlation between the vibrational and electron excitation modes in the energy spectra of single-layer graphene and crystalline graphite, as well as the dispersion dependences of those modes, has been studied. The methods of the theory of projective representations of the point and spatial symmetry groups are used for the first time in order to interpret those correlations. The correlations of vibrational and electron excitation spectra and the compatibility conditions for irreducible projective representations in the descriptions of quantum states of graphene and crystalline graphite at various points of their Brillouin zones are determined. For the projective representations of all projective classes belonging to the hexagonal system, standard factor-systems are constructed for the first time. In particular, the factor-systems for electron states are first determined. The results obtained are used to calculate, also for the first time, the correct spinor multiplication tables, i.e. the multiplication tables for elements in double symmetry groups. The developed method is applied to classify all high-symmetry points in the Brillouin zones of single-layer graphene and crystalline graphite with respect to the symmetry type of vibrational excitations.